

# Трёхмерное моделирование медленных течений вокруг недеформируемых структур с использованием FMM/GPU ускоренного МГЭ

**Абрамова Ольга Александровна** <sup>\*</sup>,  
Питюк Ю. А. <sup>\*</sup>, Гумеров Н. А. <sup>\*,\*\*</sup>, Ахатов И.Ш. <sup>\*,\*\*\*</sup>

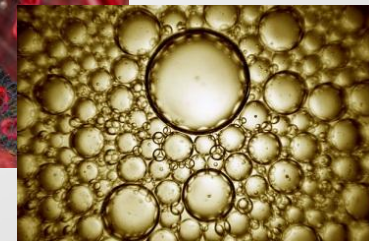
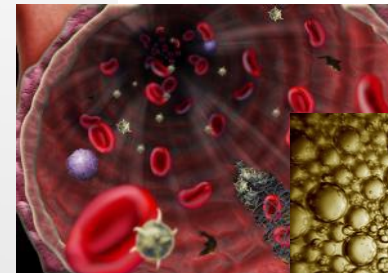
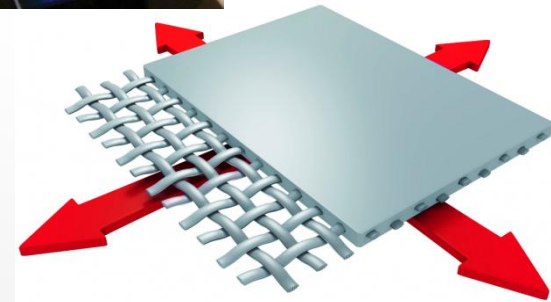
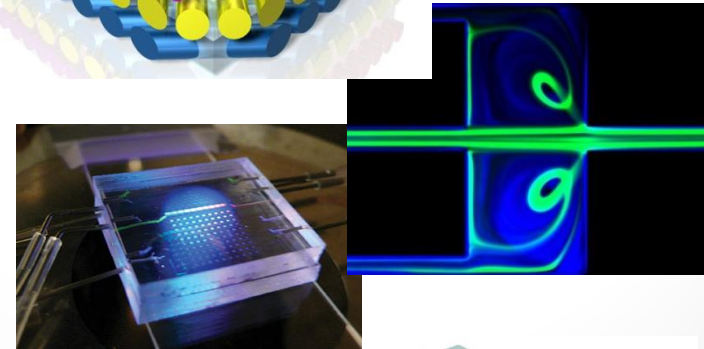
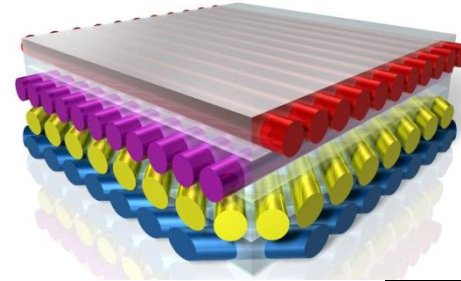
<sup>\*</sup> Центр Микро- и наномасштабной динамики дисперсных систем, Башкирский Государственный Университет, Уфа

<sup>\*\*</sup> Institute for Advanced Computer Studies, University of Maryland, USA

<sup>\*\*\*</sup> Центр Сколтеха по проектированию, производственным технологиям и материалам, Москва

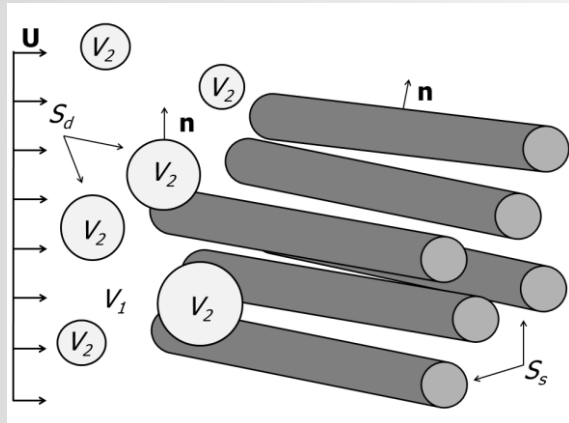
Москва, 2018

- ❖ Композиционные материалы играют важнейшую роль в авиастроении, ветряной энергетике, автомобилестроении, ракетно-космической технике для решения задач облегчения конструкций при сохранении прочностных характеристик.
- ❖ Исследование стоксовых течений имеет большое значение для микрогидродинамики при создании лабораторий-на-чипе, систем диагностики *in vitro* в микробиологии, при регулировании микропотоков
- ❖ Моделирование динамики большого объема дисперсной среды в сложной геометрии необходимо для более точного описания особенностей картины течения и микроструктуры дисперсной среды при различных параметрах.



# Постановка задачи и математическая модель

**Цель:** разработка и реализация эффективного численного инструмента на основе метода граничных элементов и быстрого метода мультиполей для изучения особенностей трехмерных течений Стокса вокруг недеформируемых неподвижных структур



Рассматривается течение вязкой жидкости и динамика деформируемых капель одной вязкой жидкости в объеме другой вязкой жидкости при малых числах Рейнольдса в неограниченной области

Движение жидкостей описывается уравнениями Стокса

$$-\nabla p_i + \mu_i \nabla^2 \mathbf{u}_i = 0, \quad \nabla \cdot \mathbf{u}_i = 0, \quad i = 1, 2$$

$$\mathbf{u}_1 = \mathbf{u}_2, \quad \mathbf{f} = \boldsymbol{\sigma}_1 \cdot \mathbf{n} - \boldsymbol{\sigma}_2 \cdot \mathbf{n} = \mathbf{f}_1 - \mathbf{f}_2 = f \mathbf{n}, \\ f = 2\gamma k(\mathbf{x}) + (\rho_1 - \rho_2)(\mathbf{g} \cdot \mathbf{x}), \quad \mathbf{x} \in S_d$$

$$\mathbf{u}(\mathbf{x}) = 0, \quad \mathbf{x} \in S_s$$

$$\frac{d\mathbf{x}}{dt} = \mathbf{u}(\mathbf{x})$$

## Граничные условия

на границе раздела жидкостей

на боковой поверхности недеформируемых структур

## Кинематическое условие

Применение метода граничных элементов<sup>1</sup> позволяет уменьшить размерность рассматриваемой задачи на единицу, поскольку все расчеты связаны только с границей.

<sup>1</sup> Pozrikidis C. Boundary Integral and Singularity Methods for Linearized Viscous Flow, 1992

# Метод граничных элементов

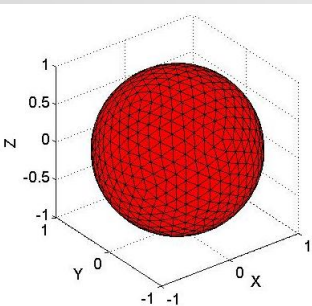
## Гранично-интегральная формулировка

Граничные интегральные уравнения для жидкости, занимающей объем  $V$ , ограниченный поверхностью  $S$ , могут быть записаны в следующем виде\*

$$\begin{aligned}
 \mathbf{u}(\mathbf{y}) - \int_S \mathbf{K}(\mathbf{y}, \mathbf{x}) \cdot \mathbf{u}(\mathbf{x}) dS(\mathbf{x}) &= \frac{1}{\mu} \int_S \mathbf{G}(\mathbf{y}, \mathbf{x}) \cdot \mathbf{f}(\mathbf{x}) dS(\mathbf{x}), & \mathbf{y} \in V, & \text{Stokeslet (стокслет)} \\
 \frac{1}{2} \mathbf{u}(\mathbf{y}) - \int_S \mathbf{K}(\mathbf{y}, \mathbf{x}) \cdot \mathbf{u}(\mathbf{x}) dS(\mathbf{x}) &= \frac{1}{\mu} \int_S \mathbf{G}(\mathbf{y}, \mathbf{x}) \cdot \mathbf{f}(\mathbf{x}) dS(\mathbf{x}), & \mathbf{y} \in S, & \text{Stresslet (стресслет)} \\
 - \int_S \mathbf{K}(\mathbf{y}, \mathbf{x}) \cdot \mathbf{u}(\mathbf{x}) dS(\mathbf{x}) &= \frac{1}{\mu} \int_S \mathbf{G}(\mathbf{y}, \mathbf{x}) \cdot \mathbf{f}(\mathbf{x}) dS(\mathbf{x}), & \mathbf{y} \notin S, V, & 
 \end{aligned}$$

$$\begin{aligned}
 \downarrow & & \downarrow & \\
 \mathbf{G}(\mathbf{y}, \mathbf{x}) &= \frac{1}{8\pi} \left( \frac{\mathbf{I}}{r} + \frac{\mathbf{r}\mathbf{r}}{r^3} \right), & \mathbf{T}(\mathbf{y}, \mathbf{x}) &= -\frac{3}{4\pi} \frac{\mathbf{r}\mathbf{r}\mathbf{r}}{r^5}, \\
 \mathbf{K}(\mathbf{y}, \mathbf{x}) &= \mathbf{T}(\mathbf{y}, \mathbf{x}) \cdot \mathbf{n}(\mathbf{x}), & \mathbf{r} &= \mathbf{y} - \mathbf{x}, \quad r = |\mathbf{r}|,
 \end{aligned}$$

Задача о течении смеси двух вязких жидкостей в неограниченной области вокруг неподвижных недеформируемых структур



$$\left. \begin{aligned}
 \mathbf{y} \in V_1, \quad \mathbf{u}(\mathbf{y}) - 2\mathbf{u}_\infty(\mathbf{y}) \\
 \mathbf{y} \in V_2, \quad \lambda \mathbf{u}(\mathbf{y}) \\
 \mathbf{y} \in S, \quad \frac{1 + \lambda \cdot \beta(\mathbf{y})}{2} \mathbf{u}(\mathbf{y}) - \mathbf{u}_\infty(\mathbf{y})
 \end{aligned} \right\} = -\frac{1}{\mu_1} \int_{S_s} \mathbf{G}(\mathbf{y}, \mathbf{x}) \cdot \mathbf{f}_1(\mathbf{x}) dS_s(\mathbf{x}) +$$

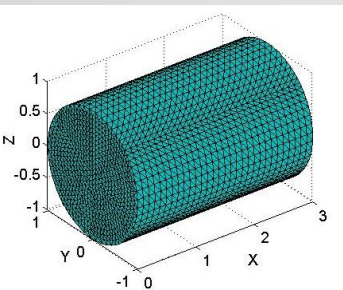
$$+ \int_{S_d} \left\{ -\frac{1}{\mu_1} \mathbf{G}(\mathbf{y}, \mathbf{x}) \cdot \mathbf{f}(\mathbf{x}) - (1 - \lambda) \mathbf{K}(\mathbf{y}, \mathbf{x}) \cdot \mathbf{u}(\mathbf{x}) \right\} dS_d(\mathbf{x})$$

$$\beta(\mathbf{y}) = \begin{cases} 0, & \mathbf{y} \notin S_d \\ 1, & \mathbf{y} \in S_d \end{cases}$$

$$S = S_s \cup S_d$$

$$\lambda = \mu_2 / \mu_1$$

$$\mathbf{f}(\mathbf{x}) = \mathbf{f}_1(\mathbf{x}) - \mathbf{f}_2(\mathbf{x})$$



Задача об обтекании неподвижных структур вязкой жидкостью

$$\left. \begin{aligned}
 \mathbf{y} \in V_1, \quad \mathbf{u}(\mathbf{y}) - 2\mathbf{u}_\infty(\mathbf{y}) \\
 \mathbf{y} \in S_s, \quad \frac{1}{2} \mathbf{u}(\mathbf{y}) - \mathbf{u}_\infty(\mathbf{y})
 \end{aligned} \right\} = -\frac{1}{\mu_1} \int_{S_s} \mathbf{G}(\mathbf{y}, \mathbf{x}) \cdot \mathbf{f}_1(\mathbf{x}) dS_s(\mathbf{x})$$

Вычисление сингулярных частей поверхностных интегралов производится на основе известных интегральных тождеств для течений Стокса и метода линейных тестовых решений.

## Увеличение размера задачи и ускорение расчетов

Трехмерное моделирование течений вязкой жидкости и жидкости с большим количеством дисперсных включений в областях со сложной геометрией невозможно с применением стандартного МГЭ подхода и требует использования высокопроизводительных вычислений и современных эффективных алгоритмов

❖ Замена прямого метода решения СЛАУ итерационным (GMRES)

если  $N$  – количество неизвестных СЛАУ, то сложность матрично-векторного произведения (МВП)  $O(N^2)$ ,  $O(N^3) \rightarrow O(N_{iter}N^2)$ ,  $N_{iter} \ll N$

❖ Использование в GMRES модуля МВП без хранения матрицы, реализованного на GPU  
Необходимая память  $O(N^2) \rightarrow O(N)$  необходимое количество операций  $O(N^2)$

❖ Ускорение матрично-векторного произведения (МВП) в GMRES, используя гетерогенный быстрый метод мультиполей (FMM)

$$O(N^2) \rightarrow O(N \log N) \sim O(N)$$

❖ Применение гетерогенного иерархического FMM в предобуславливателе flexible версии GMRES

$$N_{iter} \rightarrow \min$$

*Все это позволяет значительно снизить вычислительную сложность всего алгоритма*

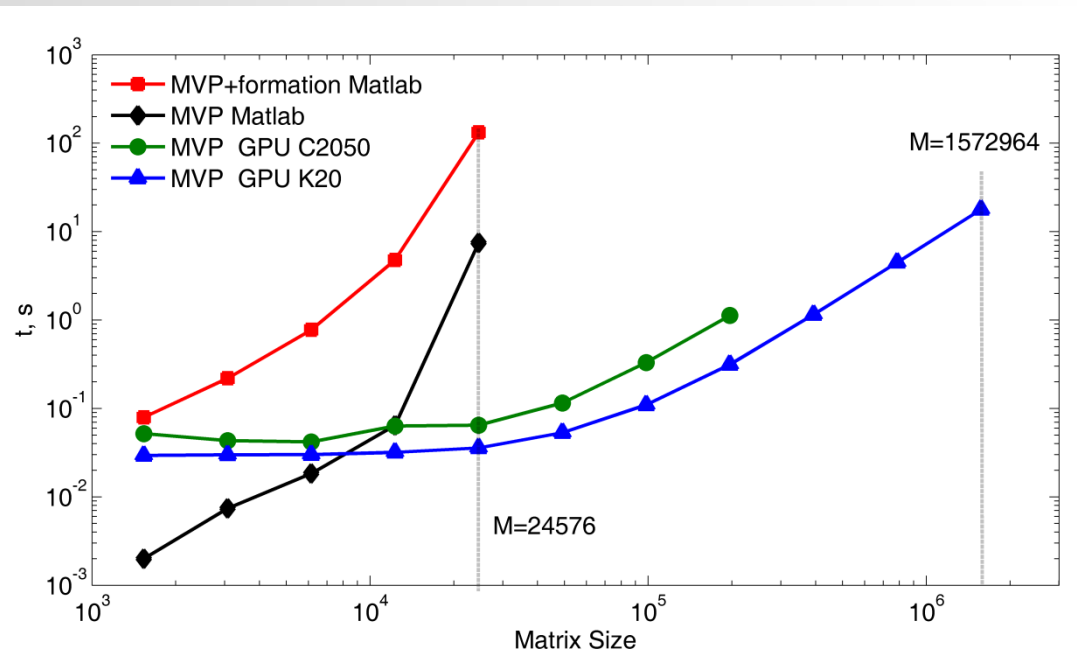
$$O(N^3) \rightarrow O(N_{iter}N) \sim O(N)$$

# Тестирование модуля МВП на GPU

$$G_{mn}^{ij} = S_n \mathbf{G}(\mathbf{x}_m - \mathbf{x}_n) = \frac{1}{8\pi} S_n \left( \frac{\delta_{ij}}{|\mathbf{x}_m - \mathbf{x}_n|} - \frac{(x_m^i - x_n^i)(x_m^j - x_n^j)}{|\mathbf{x}_m - \mathbf{x}_n|^3} \right) \quad n, m = \overline{1, N}, \quad i, j = 1, 2, 3,$$

Размер матрицы =  $3N \times 3N$

$$K_{mn}^{ij} = S_n \mathbf{K}(\mathbf{x}_m - \mathbf{x}_n) = -\frac{3}{4\pi} S_n \frac{(x_m^i - x_n^i)(x_m^j - x_n^j)}{|\mathbf{x}_m - \mathbf{x}_n|^3} \sum_{k=1}^3 (x_m^k - x_n^k) n_n^k$$



## Сравнение времени вычисления МВП для NVIDIA Tesla K20

M	Matlab	GPU	Ускорение
1024	0.2195	0.082	26.8
2048	0.7748	0.0103	75.2
4096	4.7752	0.0147	324.8
8192	133	0.0236	5635

Возможность решения задач для уравнений Стокса размером до 300000 расчетных узлов на одной рабочей станции

- 1: 2x Intel Xeon X5660, NVIDIA Tesla C2050
- 2: 2x Intel Xeon X5660, NVIDIA Tesla K20

# Быстрый Метод Мультиполей (FMM)

## Стандартное МВП

$$\mathbf{u} = \mathbf{A} \cdot \mathbf{v} \quad u_j = u(\mathbf{y}_j) = \sum_{i=1}^N v_i A(\mathbf{y}_j, \mathbf{x}_i), \quad j = 1, \dots, N. \quad \text{Сложность } O(N^2)$$

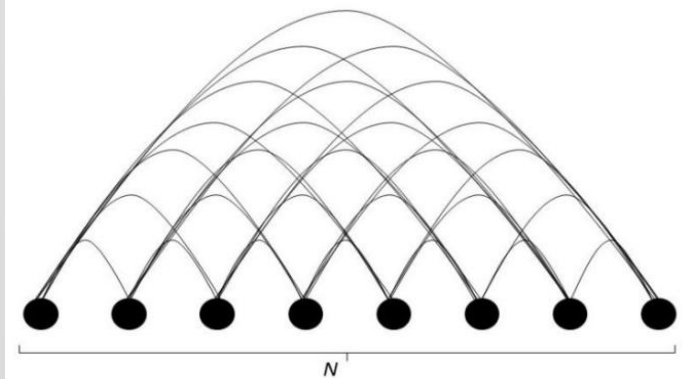
## Основная идея FMM\*

$$A(\mathbf{y}, \mathbf{x}) = \sum_{n=1}^{\infty} C_n(\mathbf{x}) F_n(\mathbf{y}) = \sum_{n=1}^p C_n(\mathbf{x}) F_n(\mathbf{y}) + \varepsilon_p \quad p \ll N$$

$p$ - параметр усечения

$A_{dense}$

Произведение плотной матрицы на CPU с использованием OpenMP

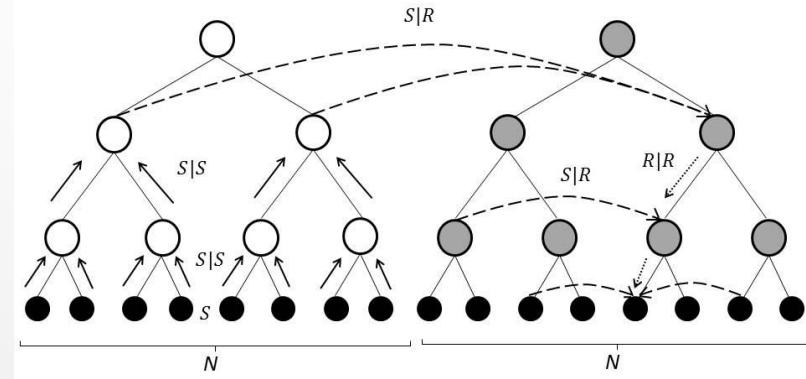


Традиционный МГЭ подход  $O(N^2)$

$\mathbf{A}$

$A_{sparse}$

Произведение разреженной матрицы на GPU с использованием CUDA



FMM МГЭ подход  $O(N)$

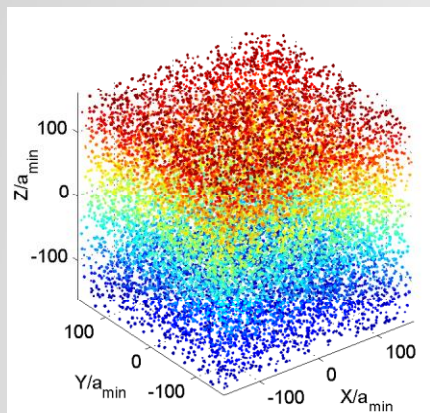
Применяется FMM, предложенный в работах\*\*, где суммирование фундаментальных решений уравнений Стокса сводится к суммированию фундаментальных решений трехмерного уравнения Лапласа

\*\*Tornberg A.K., Greengard L. A fast multipole method for the three-dimensional Stokes equations. 2008

\*\*Wang H et al A parallel fast multipole accelerated integral equation scheme for 3D Stokes equations. 2007

\*Gumerov N.A., Duraiswami R. Fast multipole method for the Helmholtz equation in three dimensions. 2005

# Тестирование гетерогенного FMM для уравнений Стокса

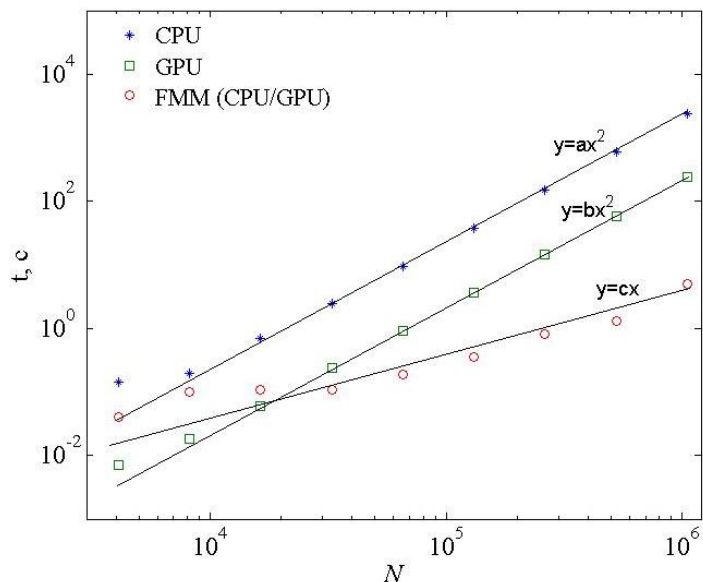


$M=15342$  капель  $N \sim 170$  Размер задачи  $\sim 2.5 \cdot 10^6$  Размер матрицы  $\sim 7.5 \cdot 10^6$

За один временной шаг  $\sim 11$  вызовов FMM  
Вычисление геометрических характеристик:  
кривизна, нормали, площади

$$\lambda = 1.5, \quad 0.25 \leq Ca \leq 0.5 \quad \alpha = 8.8 \cdot 10^{-3} \quad p=8$$

Время выполнения одного MVP для ядра  
**G** в зависимости от размера матрицы



$$N = 1\,048\,576$$

CPU+GPU FMM  $\sim 5.1$  с

MVP GPU  $\sim 239$  с

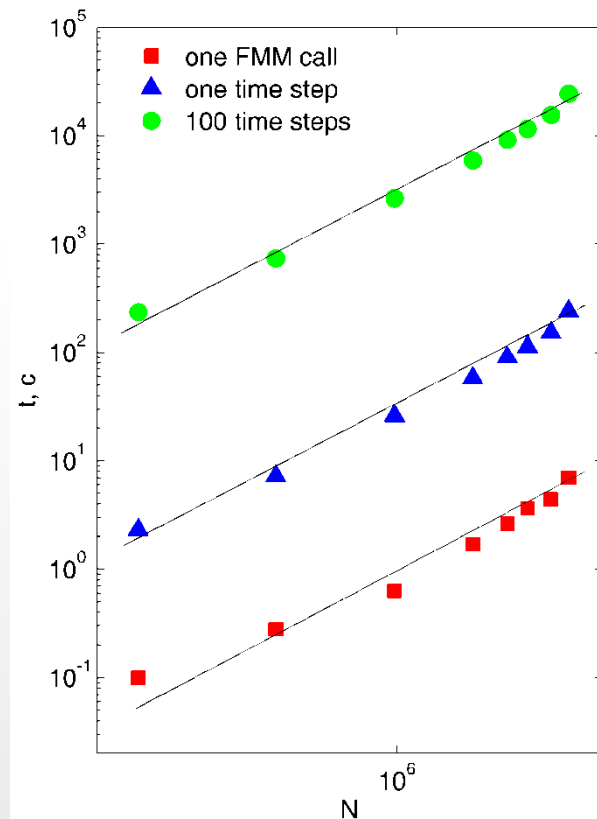
Ускорение  $\sim 46.8$

MVP CPU  $\sim 2379.3$  с

Ускорение  $\sim 466$

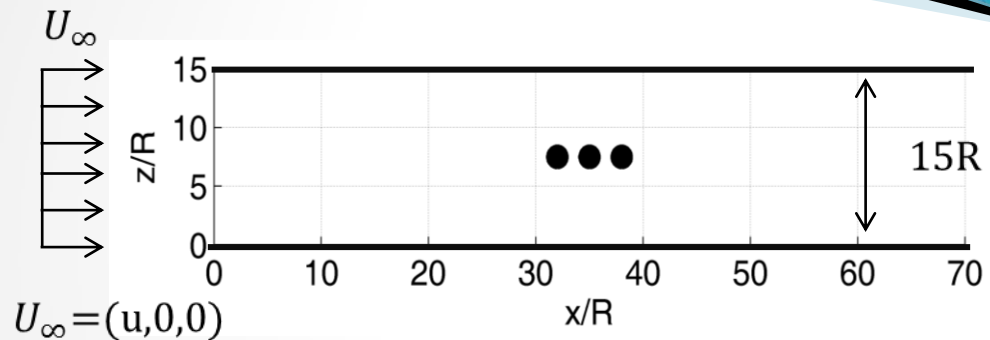
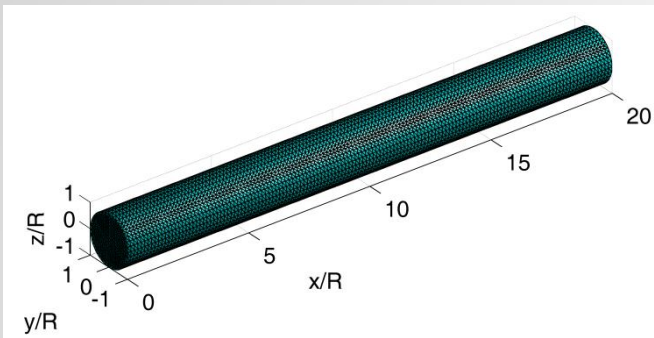
Формирование  
иерархической структуры  
данных на CPU  $\sim 1.39$  с

Один вызов FMM  $\sim 7$  с  
Один шаг по времени  $\sim 4$  мин  
100 шагов по времени  $\sim 7$  ч



Сложность алгоритма  $O(N)$

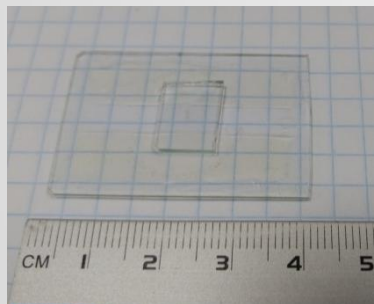
**CPU** 2x Intel Xeon X5660  
**GPU** NVIDIA Tesla K20



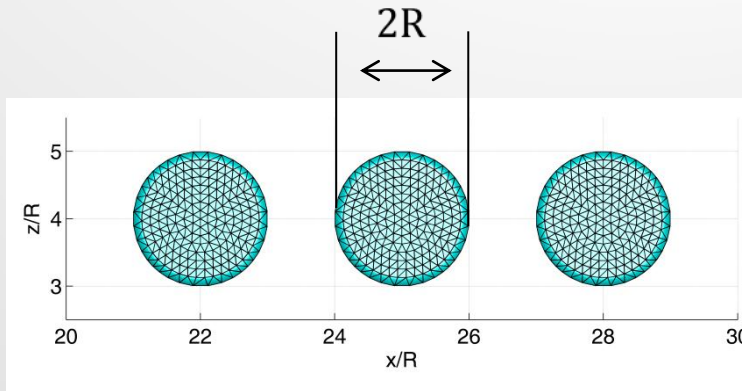
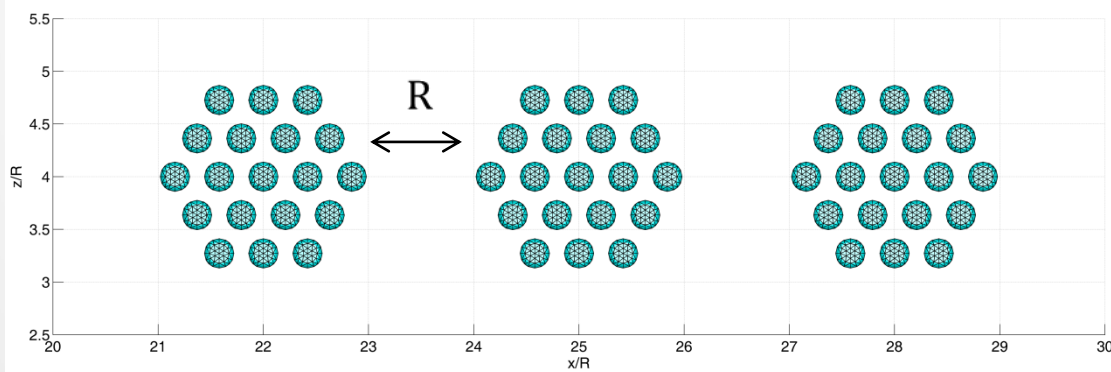
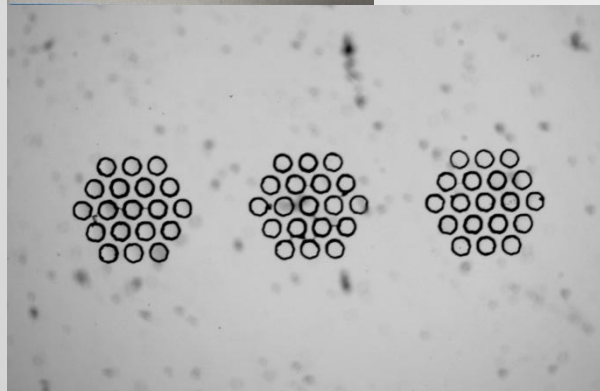
$N_{\Delta filaments} = 13720$

Общее количество расчетных узлов  $N=428360$   $y = 0$

Экспериментальный канал



$R = 7 \cdot 10^{-4} \text{ м}$   
 $r = 10^{-4} \text{ м}$

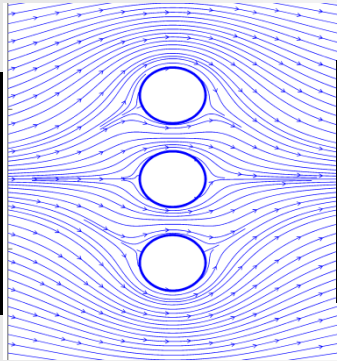
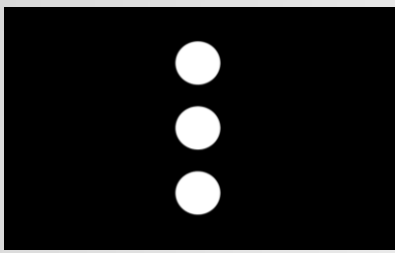


$N_{\Delta 3} = 1\,113\,928$

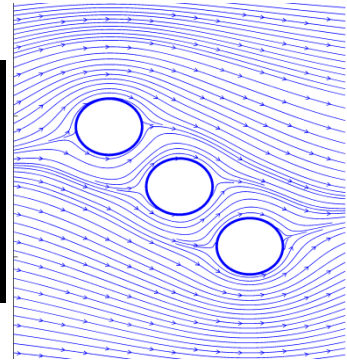
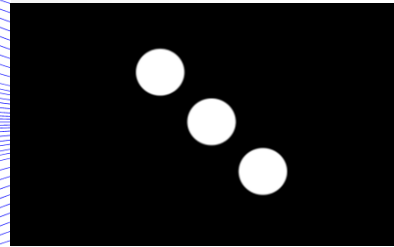
$r = \frac{1}{7} R$

$N_{\Delta 1} = 428\,360$

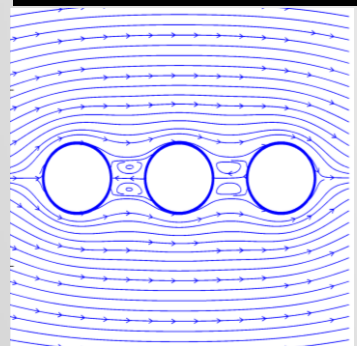
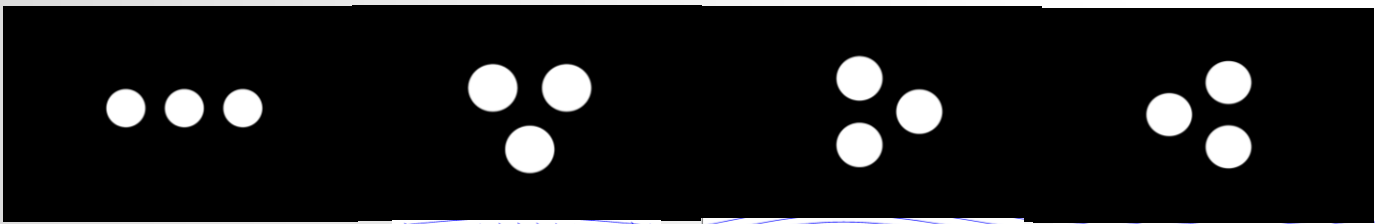
Test 2



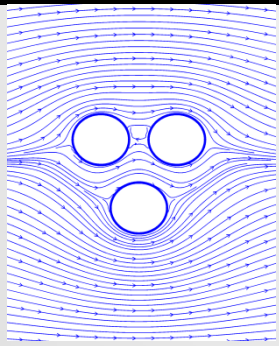
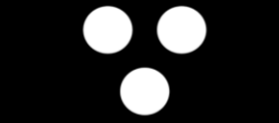
Test 3



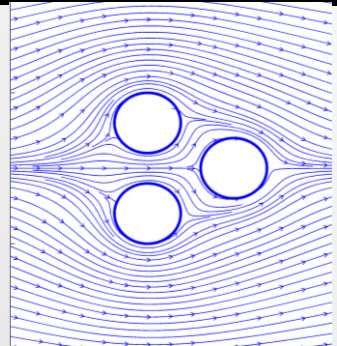
Test 1



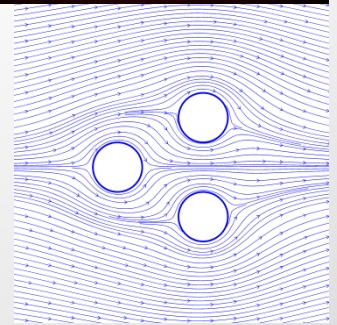
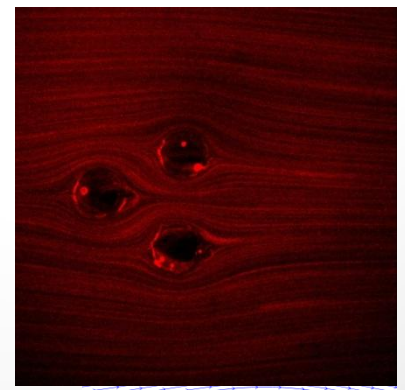
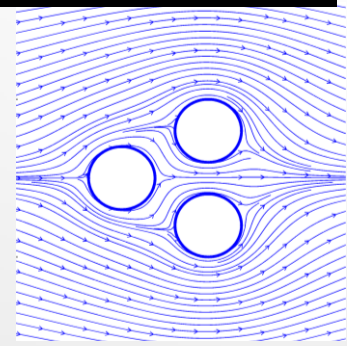
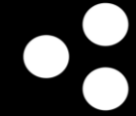
Test 4



Test 5



Test 6



$N_{\Delta filaments} = 13720$

Общее количество расчетных узлов  $N=428360$

$Re = 0.45$

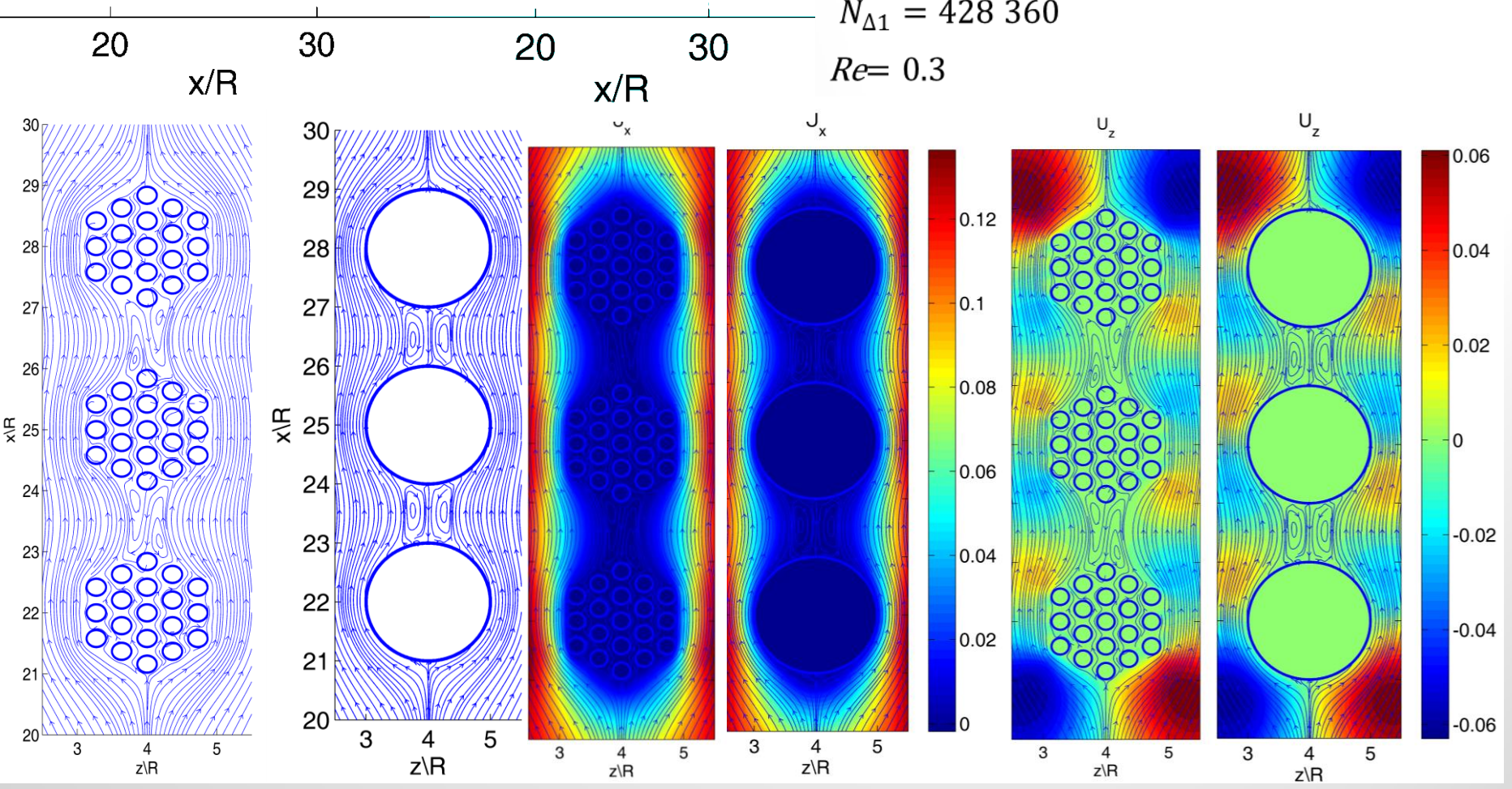
Результаты представлены в плоскости  $y = 0$

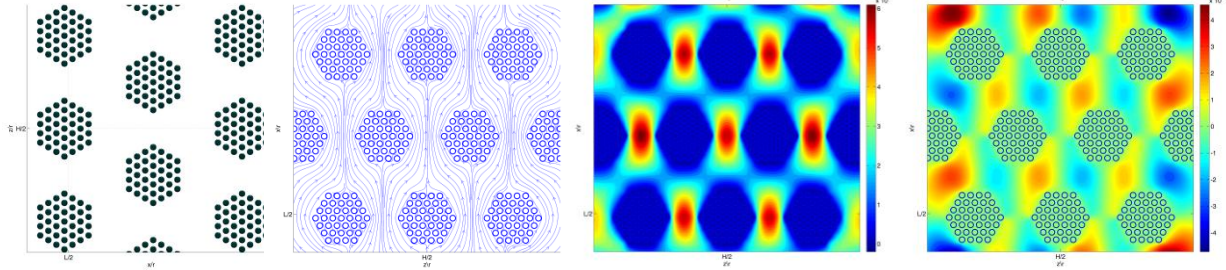
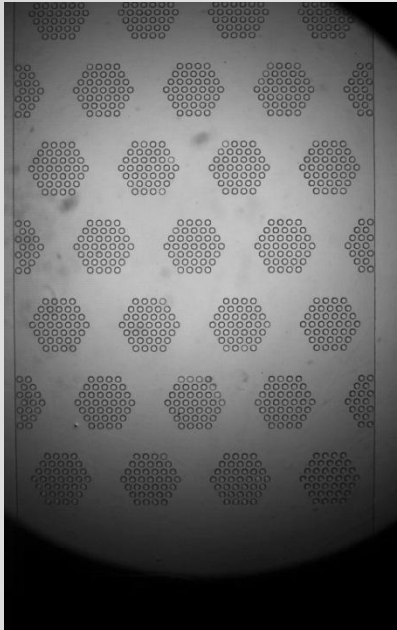
Результаты представлены  
в плоскости  $y = 0$

$N_{\Delta 3} = 1\ 113\ 928$

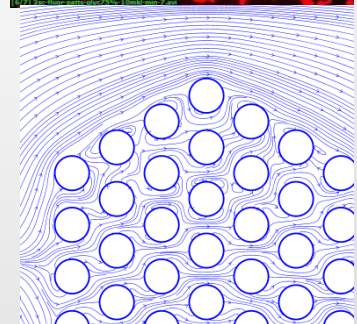
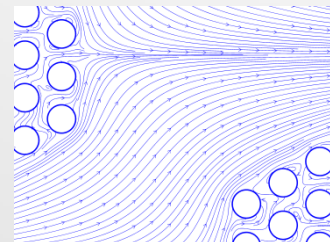
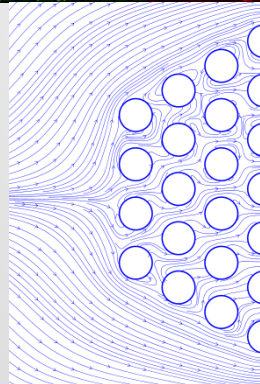
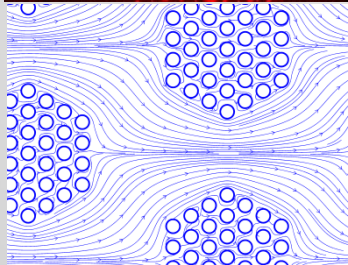
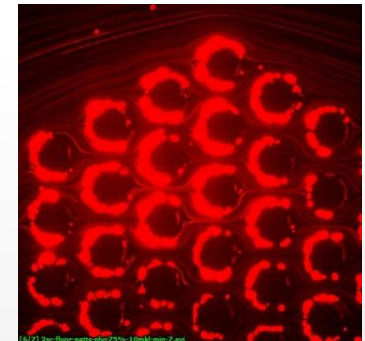
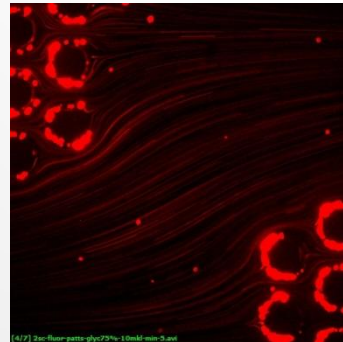
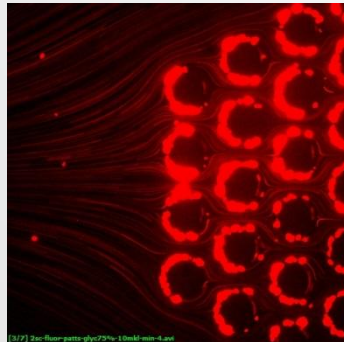
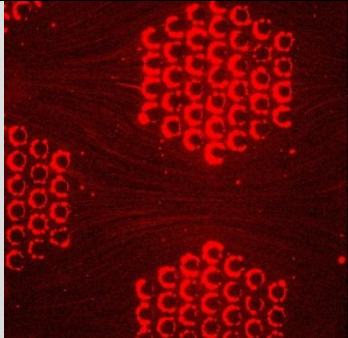
$N_{\Delta 1} = 428\ 360$

$Re = 0.3$





$N_{\Delta filaments} = 1544$  Общее количество расчетных узлов  $N=2471392$   
 $Re = 0.1$   $n = 666$



# Течение вязкой жидкости в канале переменного кругового сечения

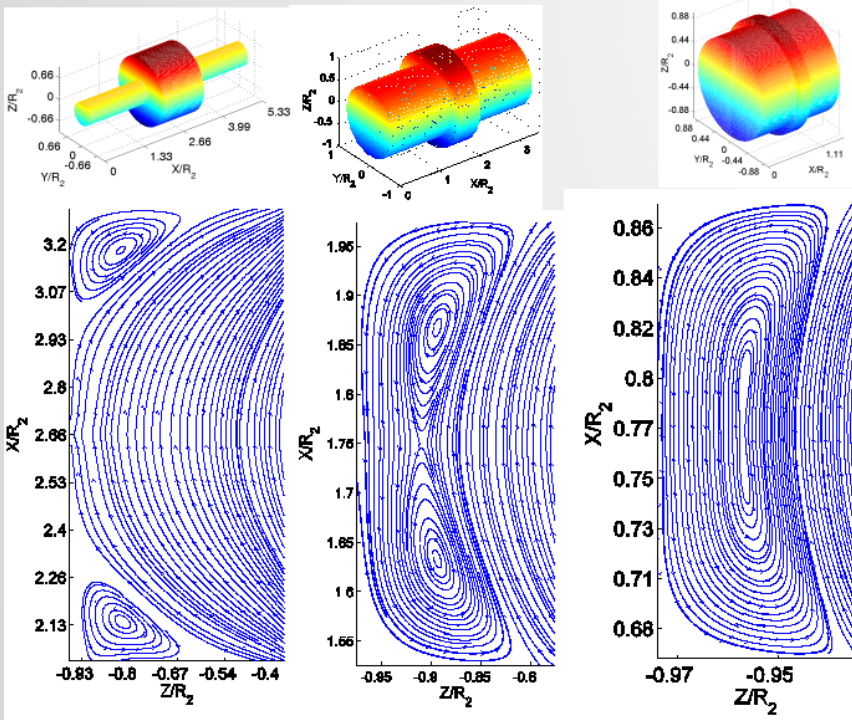
$K = \frac{h}{b}$  отношение глубины расширения к его длине

$W = \frac{R_1}{h}$  отношение радиуса узкой части канала к глубине расширения

$W = 0.5$

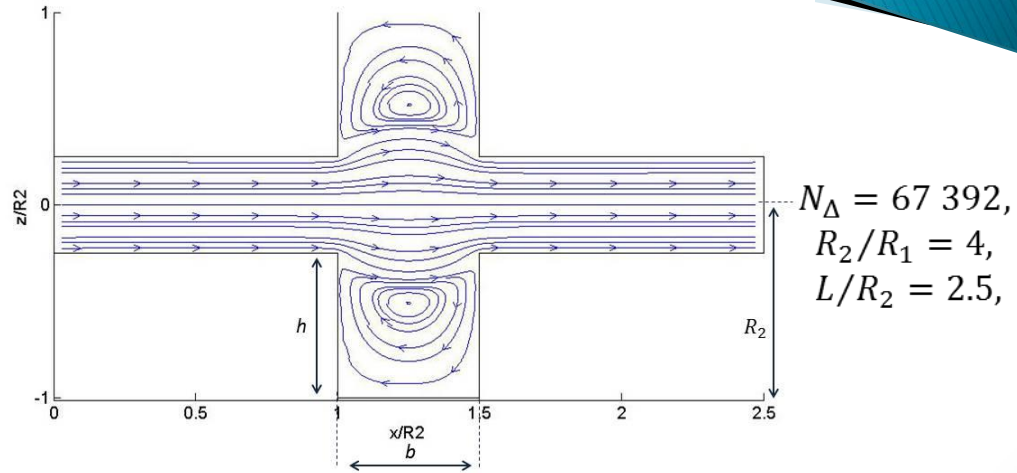
$W = 4$

$W = 8$

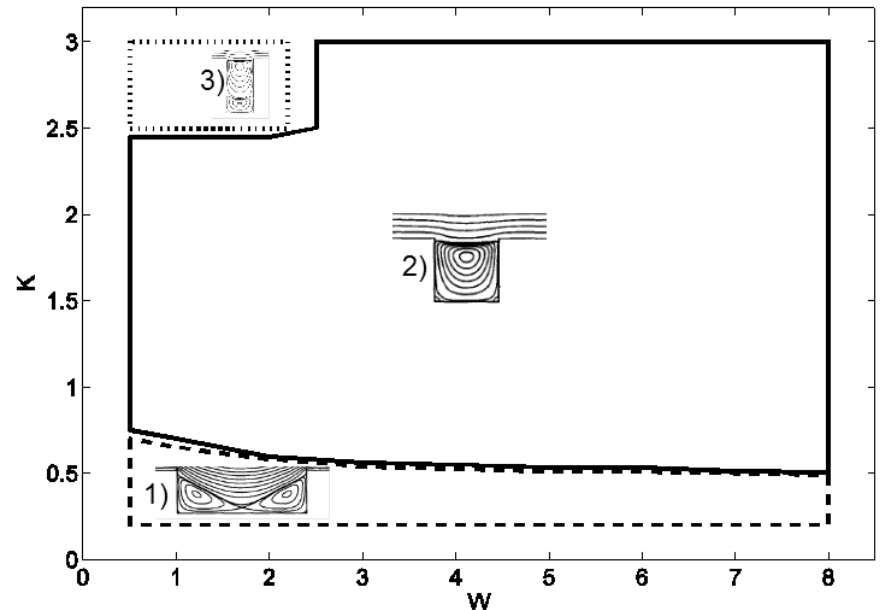


$K = 0.5$

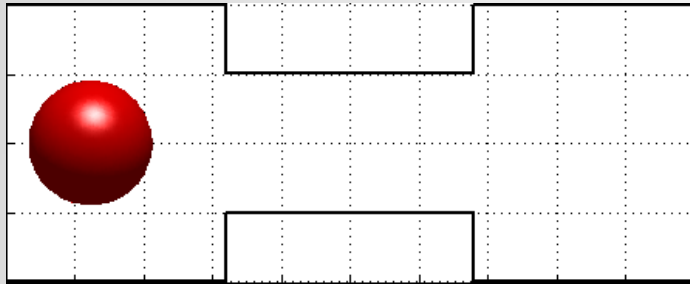
$70\,000 \leq N_{\Delta channel} \leq 90\,000$



Режимы течения в пространстве параметров W-K



# Применение подхода для моделирования течения эмульсий в различных областях

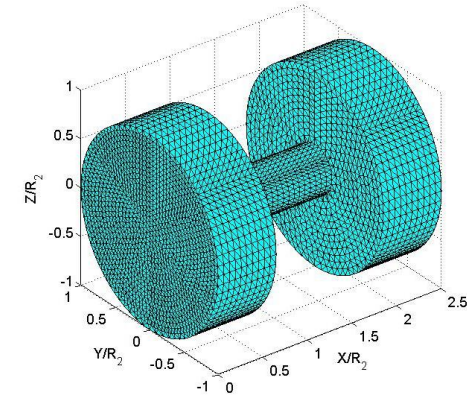
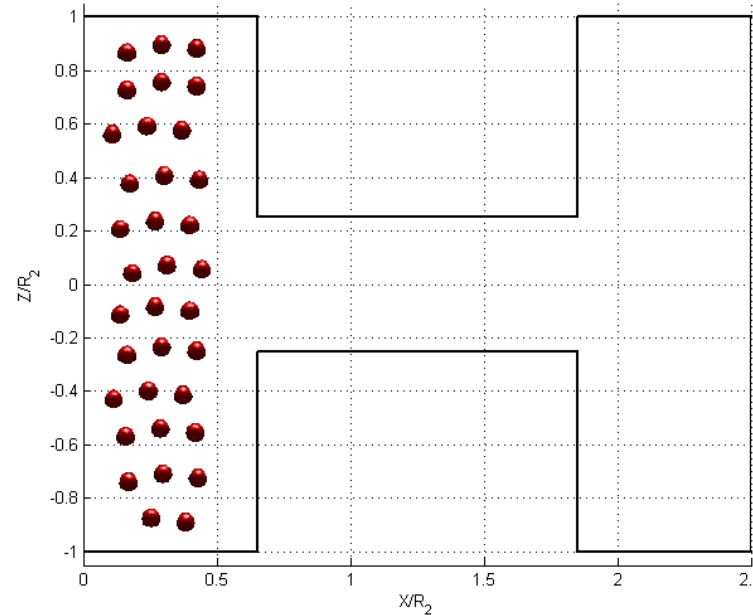
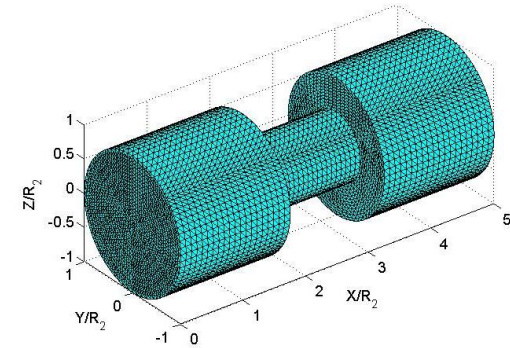
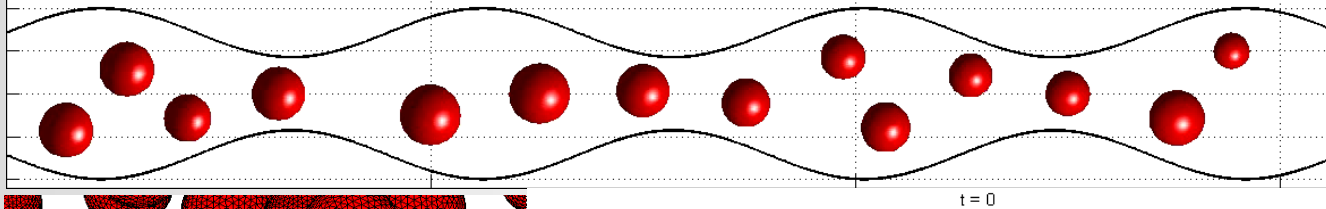
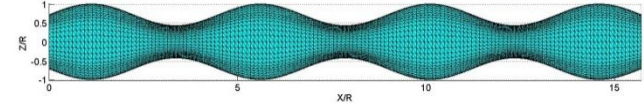


$$a/R_1 = 0.9, R_2/R_1 = 2,$$

$$\lambda = 1.5, P = 0.45, L/R_2 = 5,$$

$$N_{\Delta drop} = 5\,120,$$

$$N_{\Delta channel} \approx 45\,000$$



$$\lambda = 2, \quad 0.8 \leq Ca \leq 1.6,$$

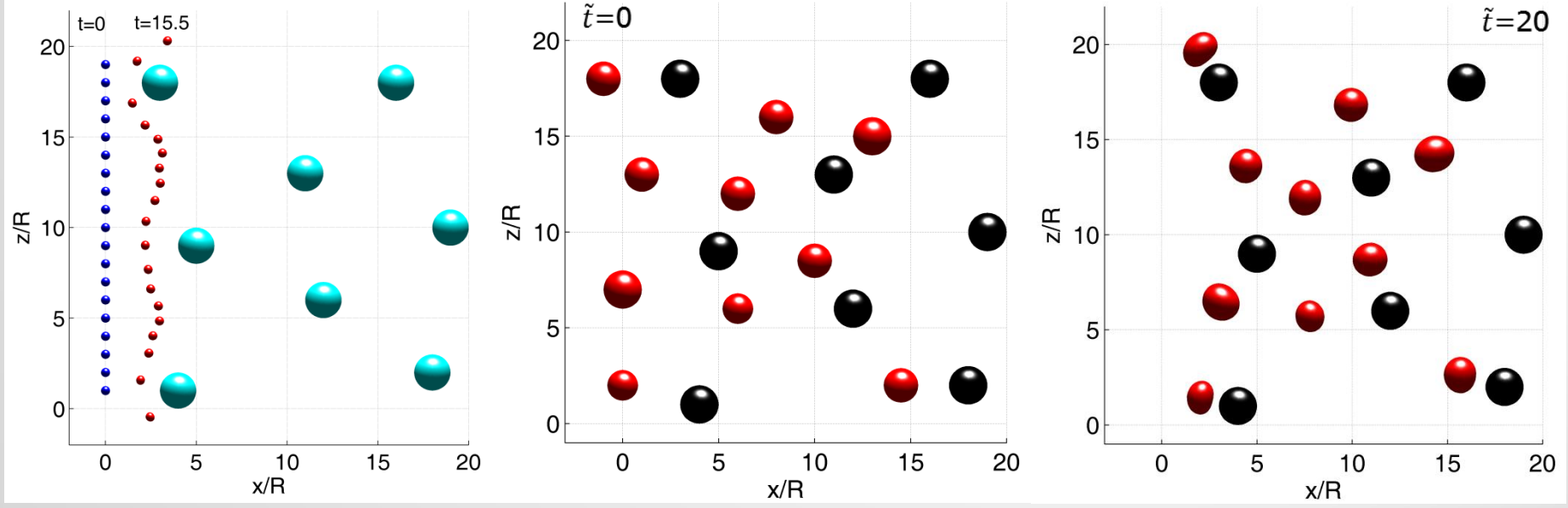
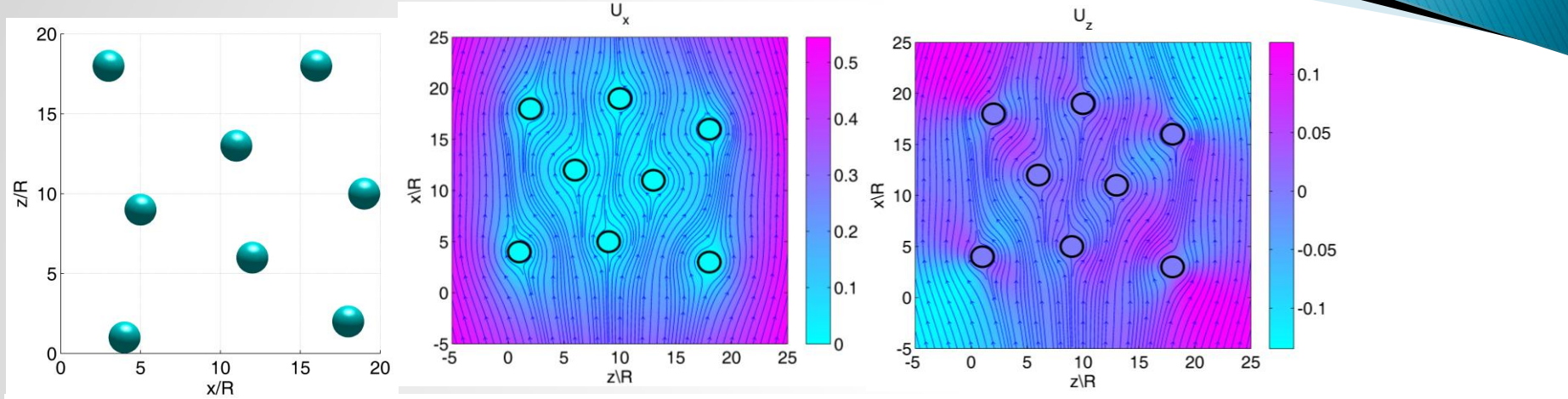
$$N = 642, \quad \alpha = 1.5 \cdot 10^{-2}$$

$$0.0136 \leq \frac{a}{R_2} \leq 0.0227$$

$$\frac{a}{R_2} = 0.035$$

- ❖ Сформулирована гранично интегральная формулировка для случая обтекания неподвижных недеформируемых структур. Предложен и протестирован оригинальный алгоритм для решения краевых задач для уравнений Стокса высокой вычислительной сложности. Алгоритм основан на методе граничных элементов, ускоренным как за счет быстрого метода мультиполей, так и за счет использования многоядерных CPU и GPU.
- ❖ Продемонстрирована возможность применения реализованного подхода для моделирования трехмерной динамики деформируемых дисперсных включений в объеме вязкой жидкости при обтекании неподвижных недеформируемых структур.
- ❖ Проведены численные эксперименты по изучению полей скоростей при обтекании вязкой жидкостью отдельных волокон, а также рассмотрены структуры с двойной пористостью. Проведено сопоставление результатов моделирования с экспериментальными данными, полученными в лабораториях Центра Микро- и наномасштабной динамики дисперсных систем.

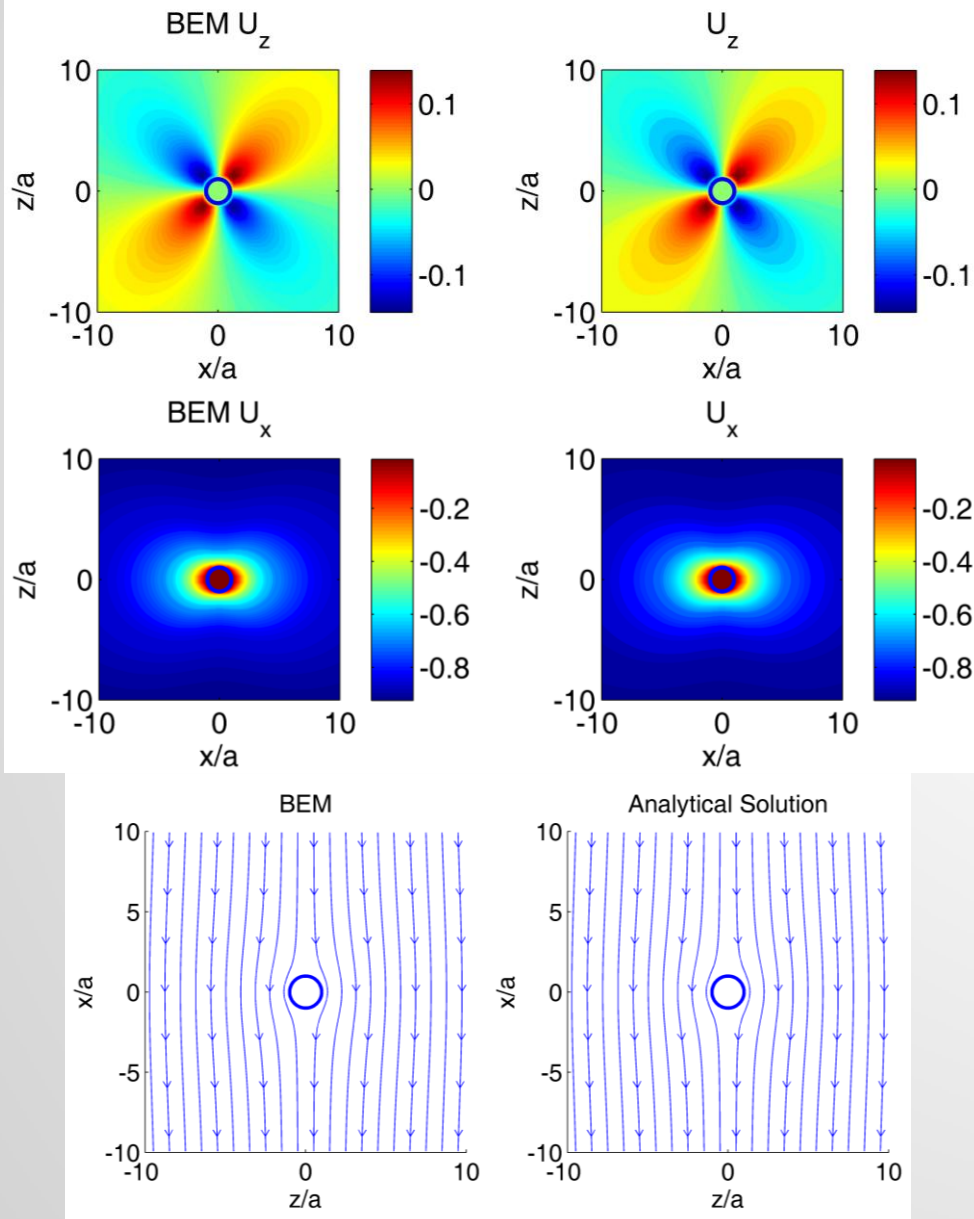
**Спасибо за внимание**



$\lambda = 1.5, \quad Ca = 0.2, \quad N_{\Delta drops} = 1380, a/R = 0.2$

$Re = 0.7 \quad \lambda = 1.5, \quad 0.75 \leq Ca \leq 1$

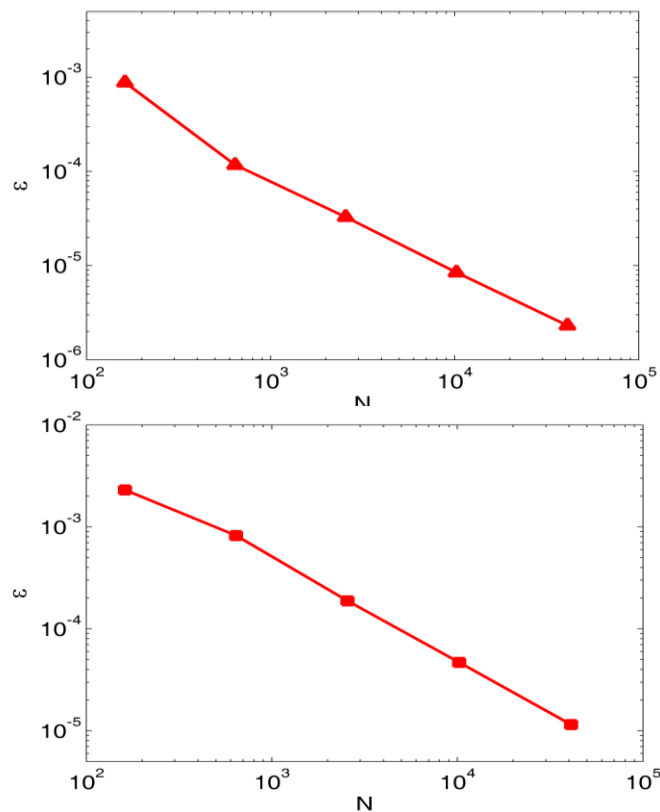
$Ca = \mu_1 a G / \gamma \quad N_{\Delta filaments} = 13896 \quad \tilde{t} = \gamma t_{dim} / (\mu_1 a)$



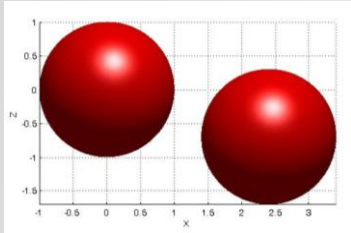
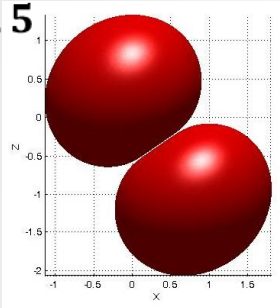
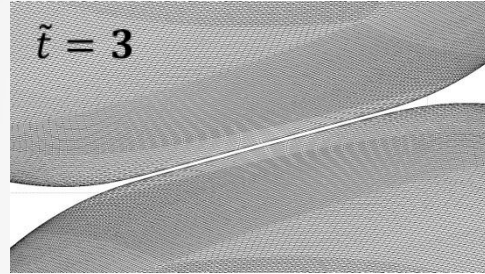
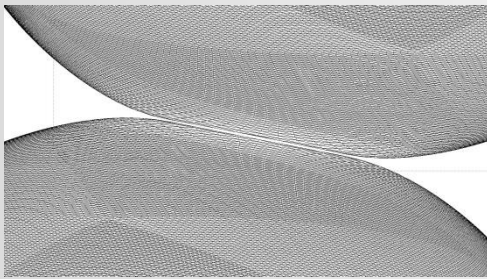
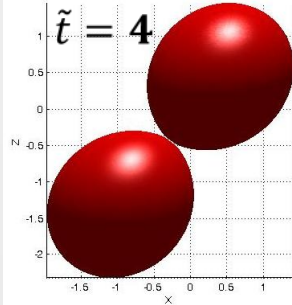
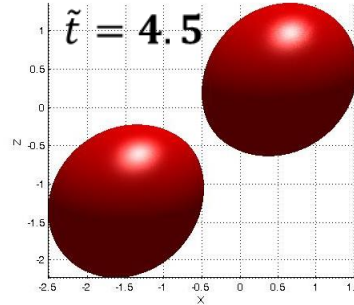
Сравнение с аналитическим решением для обтекания неподвижной твердой сферы

Относительная погрешность  $f$  на границе  $\sim 1.8\%$ ,  $N=642$

$U_x, U_z \sim 0.08-0.1\%$



# Динамика двух деформируемых капель в сдвиговом потоке

 $\tilde{t} = 0$ 

 $\tilde{t} = 2.5$ 

 $\tilde{t} = 3$ 

 $\tilde{t} = 3.5$ 

 $\tilde{t} = 4$ 

 $\tilde{t} = 4.5$ 


$$\lambda = 1 \quad Ca = 0.05$$

$$a = a_1 = a_2$$

Количество вершин на  
поверхности каждой капли

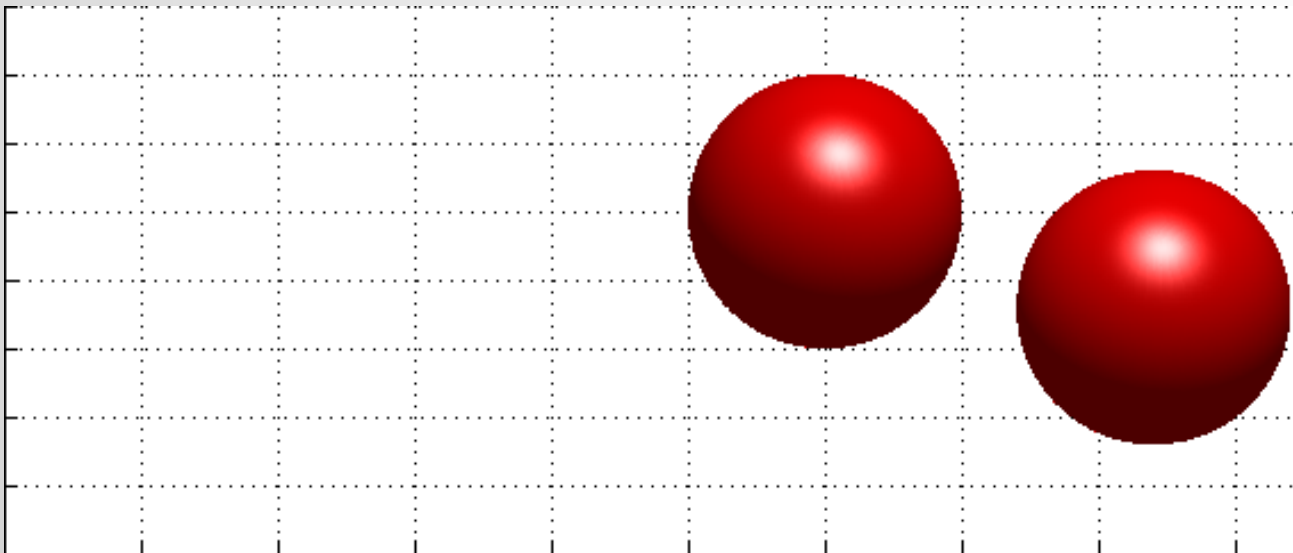
$$N = 163\,842$$

Количество треугольных  
элементов на поверхности  
каждой капли

$$N_{\Delta} = 327\,680$$

Начальное относительное  
расположение центров  
капель

$$\Delta x = 2.4a, \Delta y = 0, \\ \Delta z = 0.7a$$



# Динамика 512 деформируемых капель в сдвиговом потоке



$$\frac{d\mathbf{x}}{dt} = \mathbf{u}(\mathbf{x}) + \mathbf{w}(\mathbf{x}), \quad \mathbf{w} \cdot \mathbf{n} = 0, \quad \mathbf{x} \in S,$$

Численная поправка на тангенциальную составляющую скорости\*

$$\mathbf{w}^i = \frac{N_{\Delta}^{\frac{3}{2}}}{300(1 + \lambda)} (\mathbf{I} - \mathbf{n}_i \mathbf{n}_i) \sum_{j=1}^N \left(1 + |2k_j|^{\frac{3}{2}}\right) \Delta S_j (\mathbf{x}^j - \mathbf{x}^i)$$

\*Loewenberg M., Hinch E. J. Numerical simulation of a concentrated emulsion in shear flow. 1996.

Условие численной устойчивости\*

$$\Delta \tilde{t} \leq K \mu_1 \Delta x_{min} / \gamma$$

$K \sim 0.1 - 0.2$ ,  $\Delta x_{min}$  – минимальное расстояние между узлами сетки

$$\lambda = 2, \quad 0.8 \leq Ca \leq 1.6, \\ N = 642, \quad \alpha = 1.5 \cdot 10^{-2}$$

\*Zinchenko A.Z., Davis R.H., An efficient algorithm for hydrodynamical interaction of many deformable drops. 2000

# Обзор состояния проблемы

## Метод граничных элементов (МГЭ) для уравнений Стокса

- ❖ МГЭ формулировка  
Rallison J.M., Acrivos A., 1978; Pozrikidis C., 1992
- ❖ Моделирование деформируемых капель  
Zinchenko A.Z. и др., 2003

- без FMM
- без GPU's

## Быстрый метод мультиполей (FMM) для уравнений Стокса

Wang H. И др., 2007; Sangani A. И др., 1996

- недеформируемые границы
- без GPU's

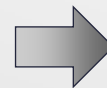
## Численное моделирование капельных течений в различных областях

Coulliette C., Pozrikidis C., 1998; Roca J.F., Carvalho M.S., 2013;  
Tsai T.M., Miksis M.J., 1994; Zinchenko A.Z., Davis R.H., 2009

- симметричные области
- ограничен размер задачи

## Настоящая работа

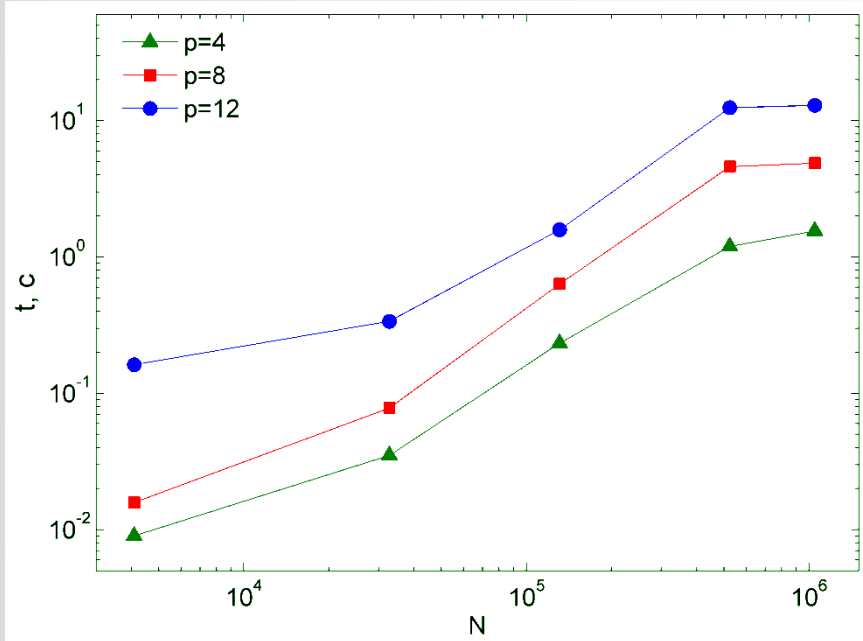
- ❖ МГЭ для деформируемых капель
- ❖ FMM
- ❖ GPU
- ❖ fGMRES + FMM



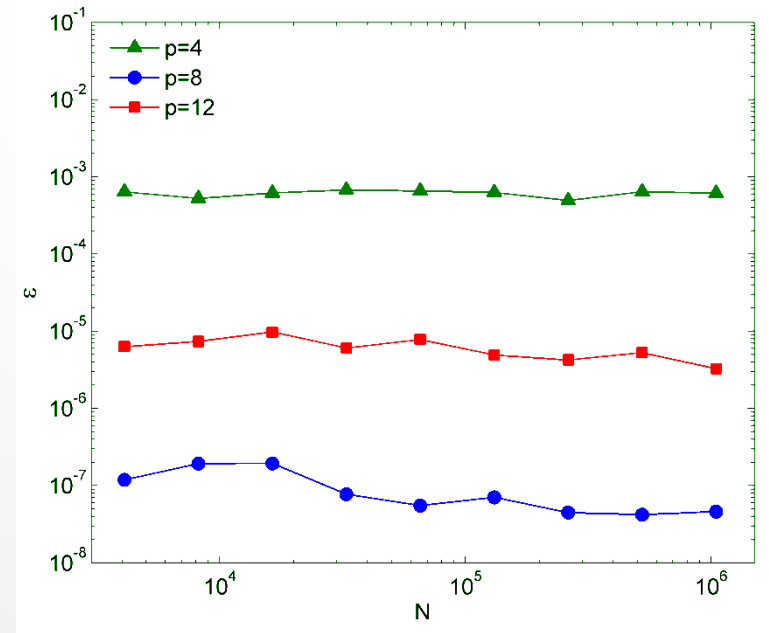
Моделирование динамики  
десятков тысяч  
деформируемых капель и  
капельных течений в каналах  
произвольной формы

# Тестирование гетерогенного FMM для уравнений Стокса

Применяется FMM, предложенный в работах\*, где суммирование фундаментальных решений уравнений Стокса сводится к суммированию фундаментальных решений трехмерного уравнения Лапласа



Время выполнения одного МВП для ядра **G** в зависимости от размера матрицы



Точность МВП для ядра **G** в зависимости от размера матрицы

**CPU** 2x Intel Xeon X5660, 2.8GHz, 12 cores, 12 GB RAM

**GPU** NVIDIA Tesla K20, 448 cores, 5GB, 1.03 Tflops single, 0.515 Tflops double

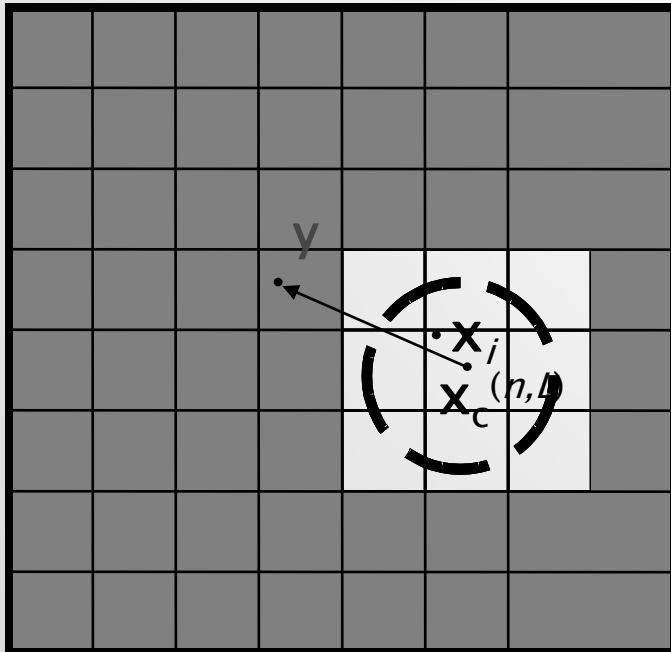
\**Tornberg A.K., Greengard L.* A fast multipole method for the three-dimensional Stokes equations. 2008

\**Wang H et al* A parallel fast multipole accelerated integral equation scheme for 3D Stokes equations. 2007

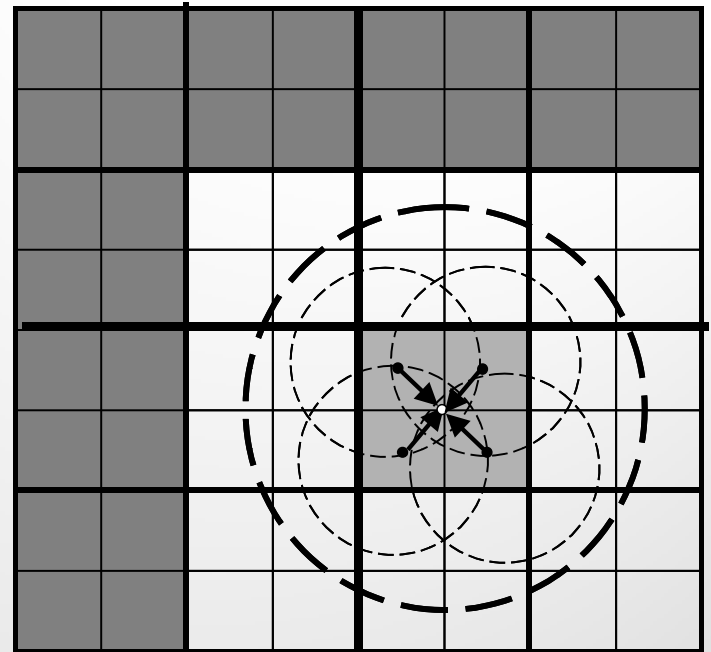
From the finest to the coarsest level  
Get S-expansion for all nonempty boxes

S-expansion means singular, or multipole, or far field expansion

1. S-exp for Max Level



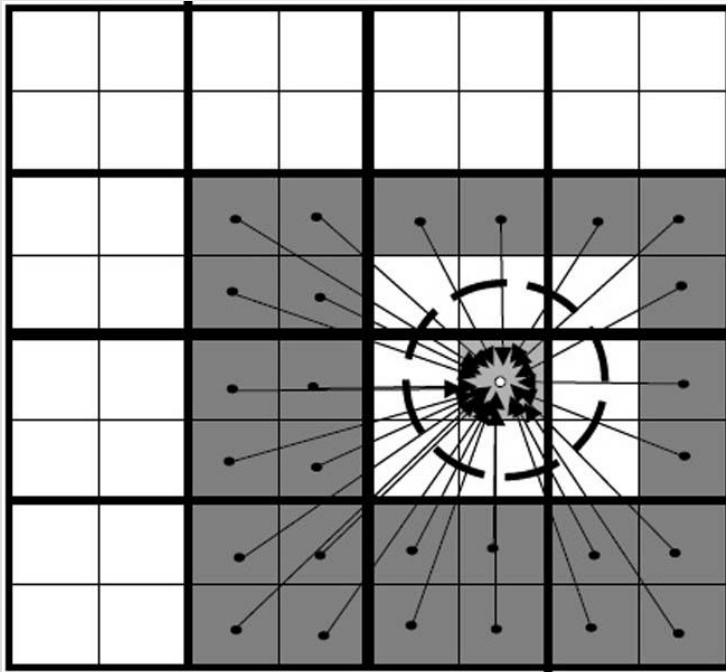
2. S-exp for other levels  
S|S-translations



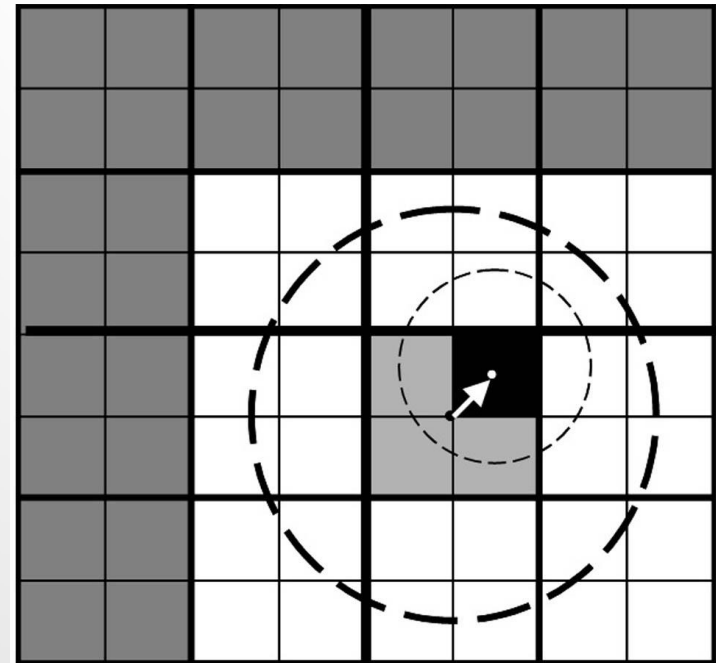
From the coarsest to the finest level  
Get R-expansion for all nonempty boxes

R-expansion means regular, or local, or near field expansion

1. R-exp from S-exp's of  
the boxes in the neighborhood  
S|R-translations

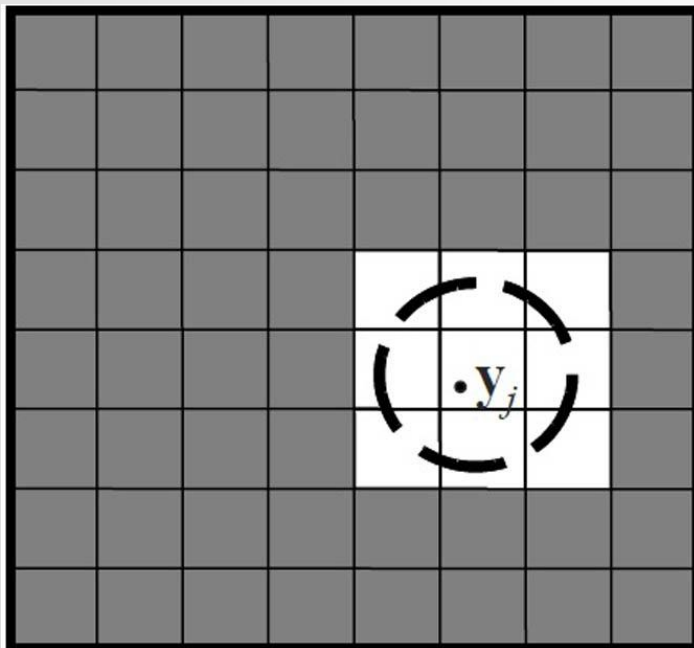


2. R-exp from parent  
R|R-translations

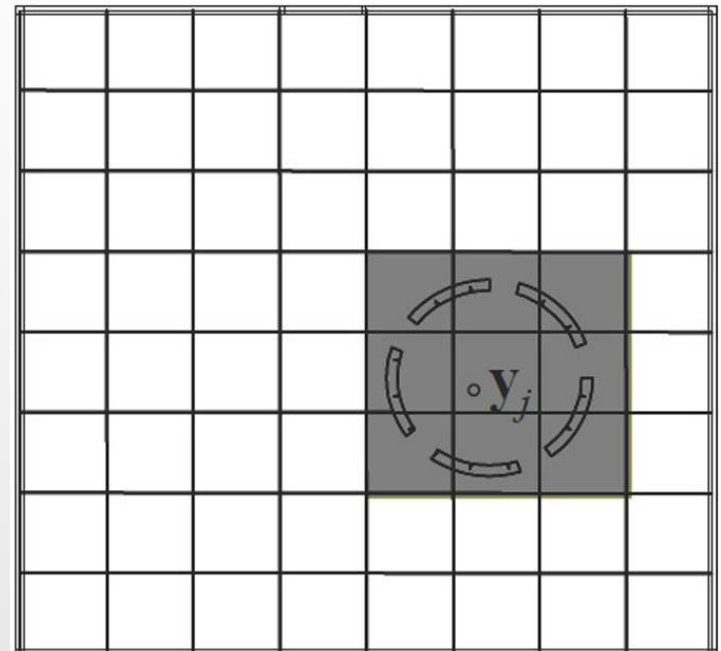


Evaluate R-expansion for boxes at Max Level  
Direct summation of sources contribution  
in the neighborhood of receivers

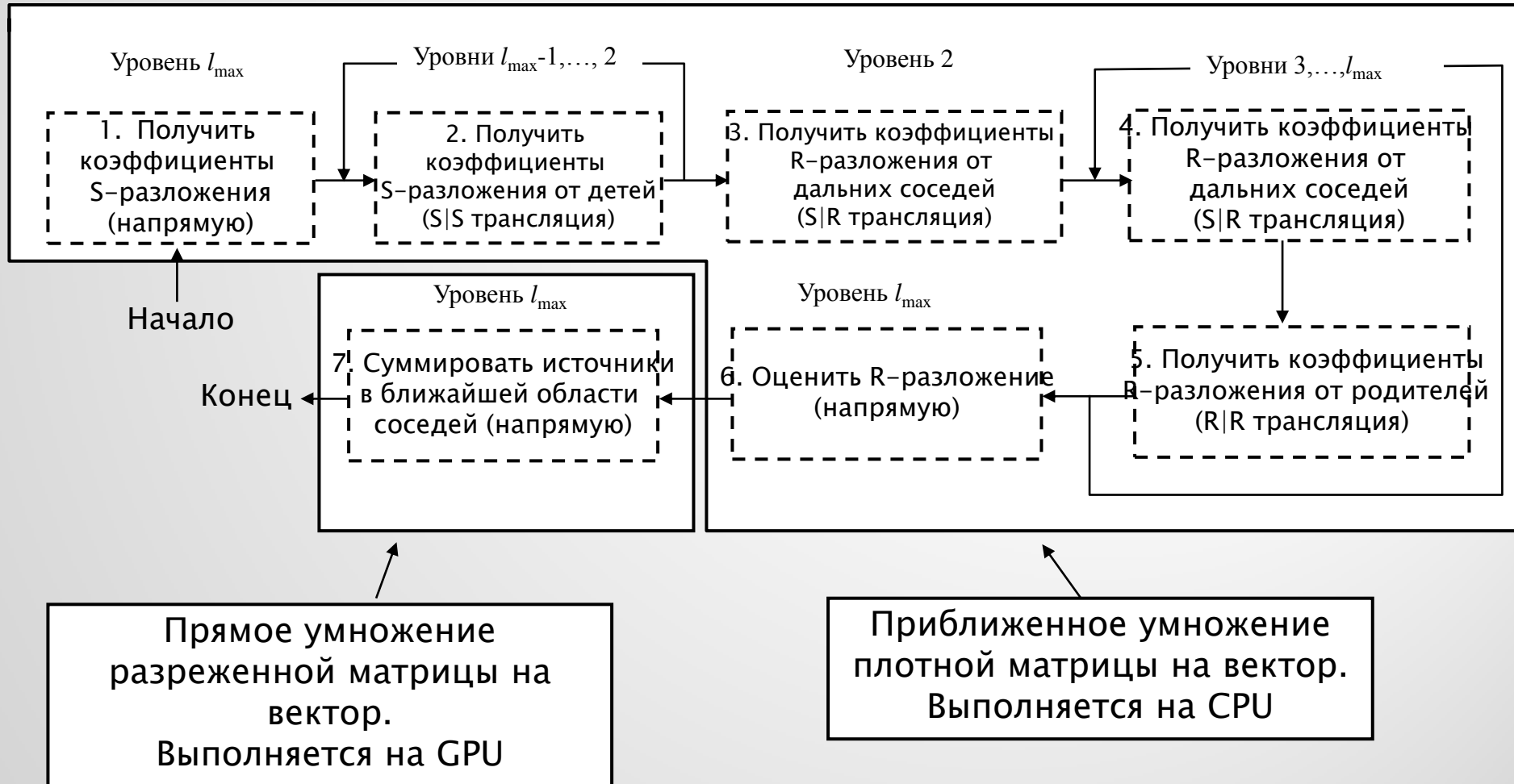
1. Evaluate R-expansion



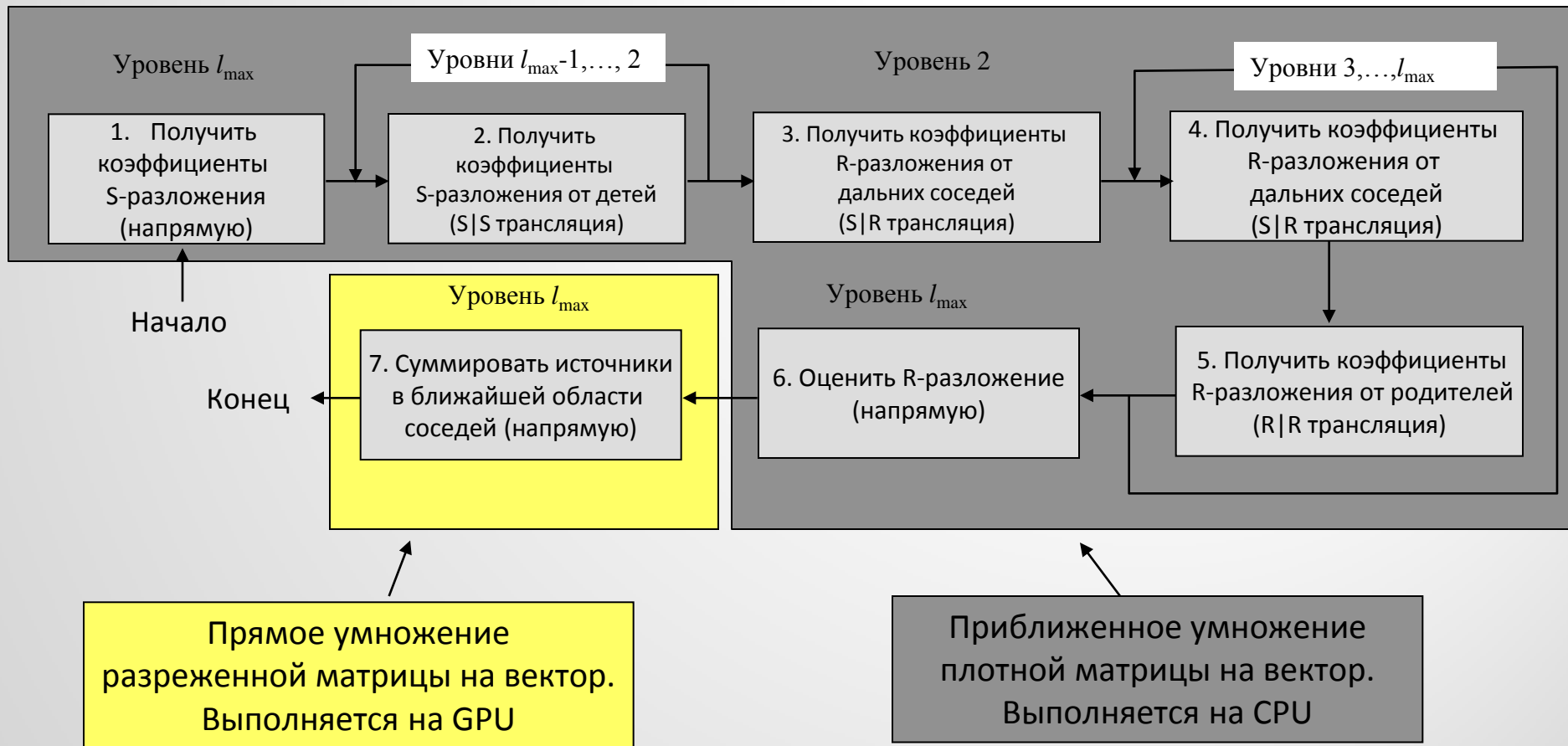
2. Direct summation



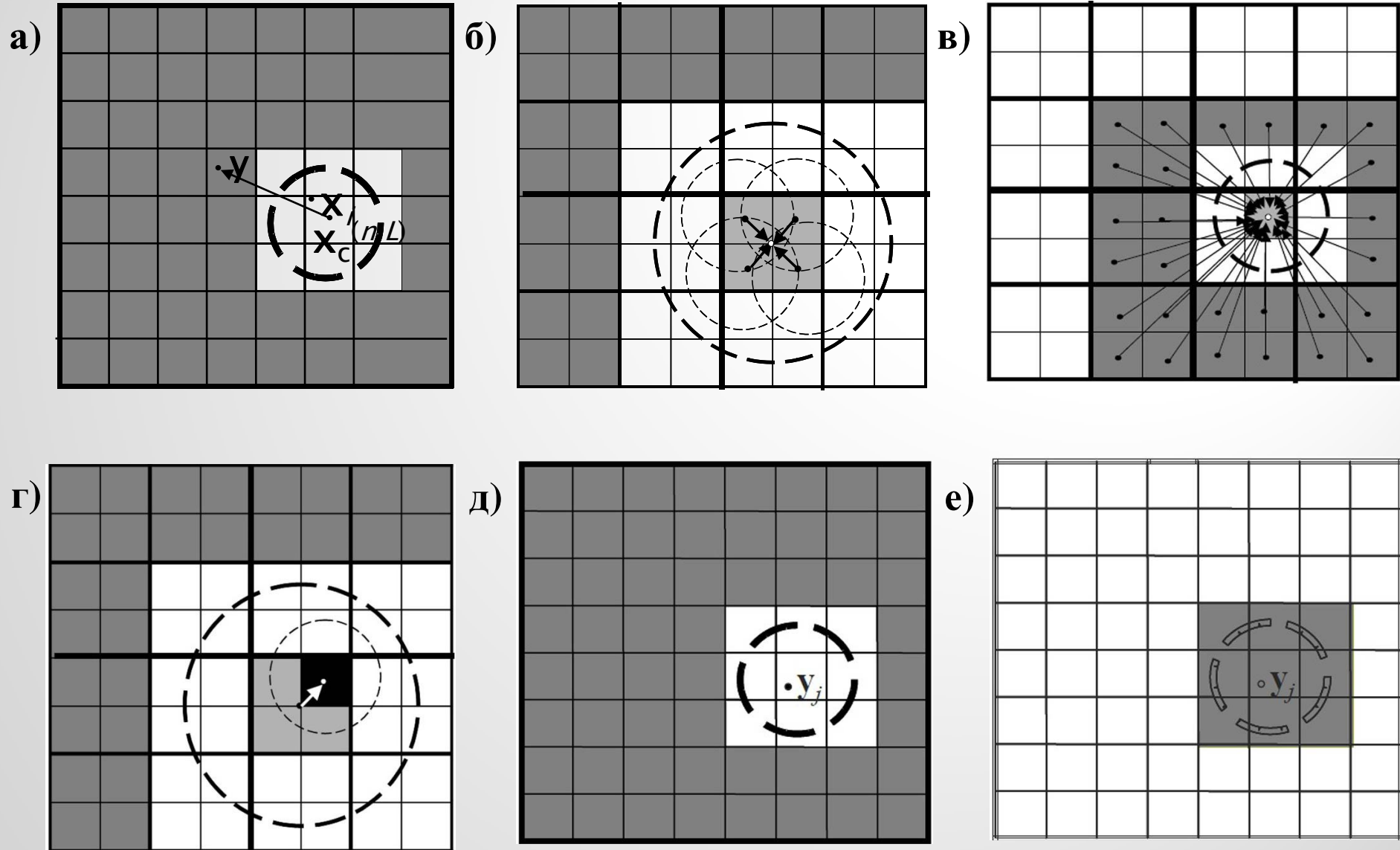
## Блок-схема гетерогенного алгоритма FMM



## Блок-схема гетерогенного алгоритма FMM



## FMM



# FMM для уравнений Стокса

## Stokeslet factorization

$$\mathbf{v} = \mathbf{f} \frac{1}{r} + (\mathbf{f} \cdot \mathbf{r}) \frac{\mathbf{r}}{r^3} = \sum_{k=1}^3 \left[ \mathbf{i}_k \frac{f_k}{r} - y_k \nabla_y \frac{f_k}{r} \right] + \nabla_y \frac{(\mathbf{f} \cdot \mathbf{x})}{r}, \quad \mathbf{r} = \mathbf{y} - \mathbf{x},$$

## Stresslet factorization

$$\mathbf{v} = -3 \frac{\mathbf{r}(\mathbf{u} \cdot \mathbf{r})(\mathbf{n} \cdot \mathbf{r})}{r^5} = \sum_{k=1}^3 \left[ -\mathbf{i}_k \frac{(\mathbf{d}_k \cdot \mathbf{r})}{r^3} + y_k \nabla_y \frac{(\mathbf{d}_k \cdot \mathbf{r})}{r^3} \right] - \nabla_y \frac{(\mathbf{c} \cdot \mathbf{r})}{r^3},$$

$$\mathbf{d}_k = \frac{1}{2} (\mathbf{n} u_k + \mathbf{u} n_k), \quad \mathbf{c} = \frac{1}{2} [\mathbf{n}(\mathbf{u} \cdot \mathbf{x}) + \mathbf{u}(\mathbf{n} \cdot \mathbf{x})], \quad \mathbf{r} = \mathbf{y} - \mathbf{x},$$

## Stokeslet+stresslet factorization

(total 4 FMMs for the Laplace equation for one summation)

$$\mathbf{v} = \sum_{k=1}^3 (\mathbf{i}_k \Phi_k - y_k \nabla_y \Phi_k) + \nabla_y \Phi_0,$$

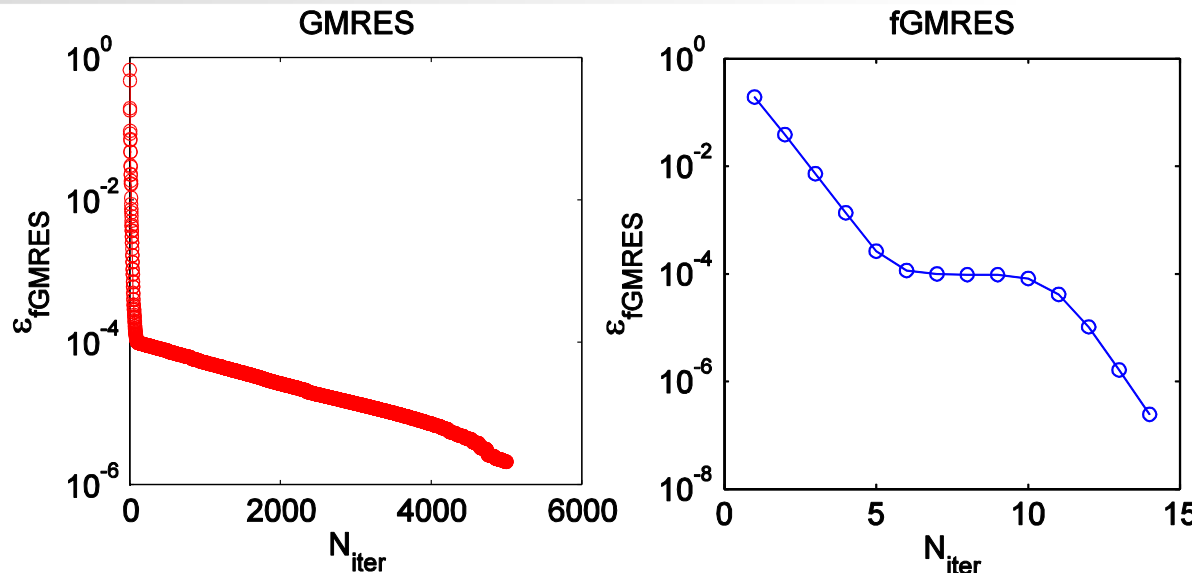
$$\Phi_0 = \frac{(\mathbf{f} \cdot \mathbf{x})}{r} - \frac{(\mathbf{c} \cdot \mathbf{r})}{r^3}, \quad \Phi_k = \frac{f_k}{r} - \frac{(\mathbf{d}_k \cdot \mathbf{r})}{r^3}, \quad k = 1, 2, 3.$$

Сравнение времени выполнения МВП прямым методом счета на CPU и на GPU и МВП с применением FMM (CPU/GPU) для стокслетов и стресслетов,  $p=8$ .

N	Оптимальный $l_{max}$	Архитектура	Стокслеты		Стресслеты	
			Время вычисления, с	Ускорение	Время вычисления, с	Ускорение
4 096	2	CPU	0.14	1	0.08	1
		GPU	0.007	20	0.006	13.3
		FMM CPU/GPU	0.04	3.5	0.035	2.3
32 768	3	CPU	2.486	1	2.18	1
		GPU	0.24	10.4	0.23	9.5
		FMM CPU/GPU	0.11	22.6	0.11	19.8
262144	4	CPU	147.78	1	135.7	1
		GPU	14.5	10.19	14.1	9.6
		FMM CPU/GPU	0.8	185	0.87	156
1 048 576	5	CPU	2379.3	1	2222	1
		GPU	239	9.96	225	9.87
		FMM CPU/GPU	5.1	466	5.3	419.2

# Flexible GMRES

Разработанный итеративный решатель flexible GMRES\* основывается на использовании FMM пониженной точности в предобуславливателе и позволяет значительно сократить количество итераций



Расчеты представлены для течения вязкой жидкости в цилиндрическом канале

Размер матрицы 5196 x 5196  
FMM\_p\_in=4, FMM\_p\_out=8

Двойное использование гетерогенного FMM как для ускорения матрично-векторного произведения, так и для ускорения сходимости итерационного решателя, позволяет моделировать трехмерные течения в каналах произвольных форм.

\*Saad Y. Iterative Methods for Sparse Linear System. 2003

# Алгоритм flexible GMRES

## Алгоритм GMRES

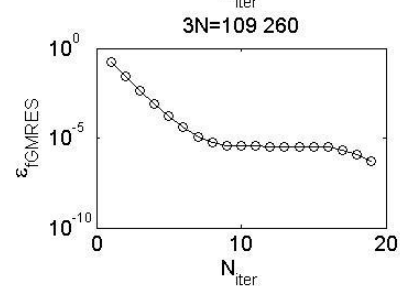
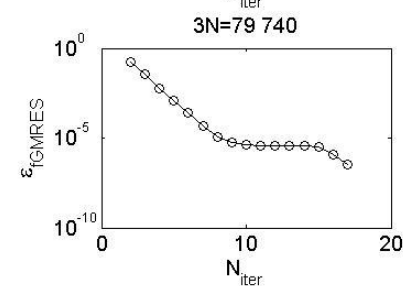
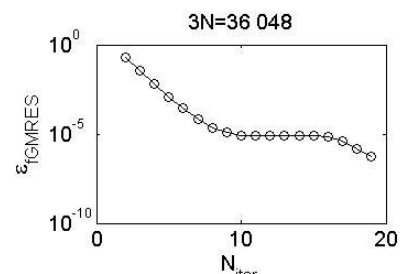
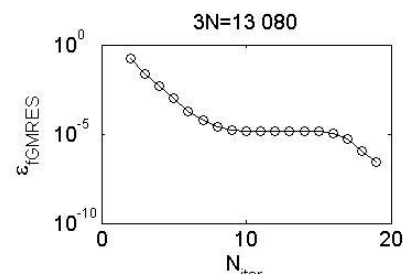
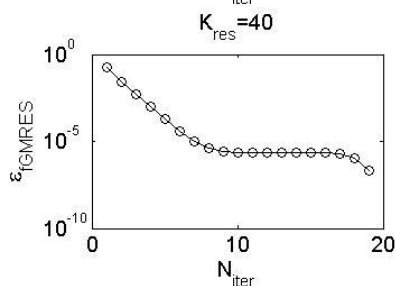
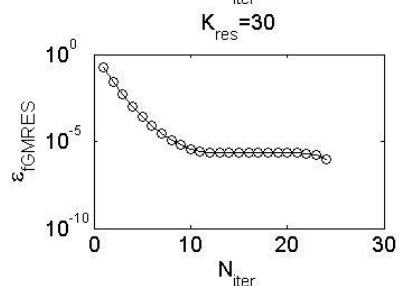
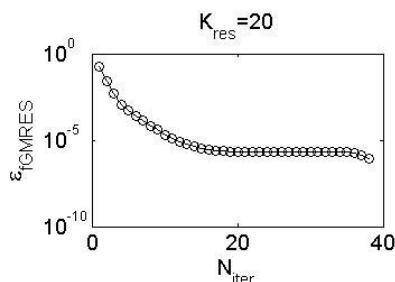
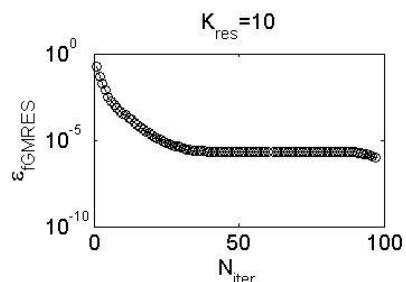
1. Вычислить  $\mathbf{r}_0 = \mathbf{b} - \mathbf{A}\mathbf{x}_0$ ,  $\beta := \|\mathbf{r}_0\|_2$ ,  $\mathbf{v}_1 = \mathbf{r}_0/\beta$ .
2. Сформировать  $(m+1) \times m$  матрицу  $\bar{\mathbf{H}}_m = h_{ij} \mathbf{1}_{1 \leq i \leq m+1, 1 \leq j \leq m}$ . Положить  $\bar{\mathbf{H}}_m = 0$
3. For  $j = 1, 2, \dots, m$  Do:
4. Вычислить  $\mathbf{w}_j := \mathbf{A}\mathbf{v}_j$
5. For  $i = 1, 2, \dots, j$  Do:
6.  $h_{ij} := (\mathbf{w}_j, \mathbf{v}_i)$
7.  $\mathbf{w}_j := \mathbf{w}_j - h_{ij}\mathbf{v}_i$
8. EndDo
9.  $h_{j+1,j} = \|\mathbf{w}_j\|_2$ . If  $h_{j+1,j} = 0$  then  $m := j$  go to 12
10.  $\mathbf{v}_{j+1} = \mathbf{w}_j/h_{j+1,j}$
11. EndDo
12. Вычислить  $\mathbf{y}_m$  минимизацию  $\|\beta\mathbf{e}_1 - \bar{\mathbf{H}}_m\mathbf{y}\|_2$  и  $\mathbf{x}_0 := \mathbf{x}_0 + \mathbf{V}_m\mathbf{y}_m$
13. Вычислить  $\mathbf{r}_0 = \mathbf{b} - \mathbf{A}\mathbf{x}_0$ ,  $\beta := \|\mathbf{r}_0\|_2$ . Продолжить пока  $\beta > \epsilon_{GMRES}$ .

Заменить на FMM

## Алгоритм fGMRES

1. Вычислить  $\mathbf{r}_0 = \mathbf{b} - \mathbf{A}\mathbf{x}_0$ ,  $\beta := \|\mathbf{r}_0\|_2$ ,  $\mathbf{v}_1 = \mathbf{r}_0/\beta$ .
2. For  $j = 1, 2, \dots, m$  Do:
3. Вычислить  $\mathbf{z}_j := \mathbf{M}_j^{-1}\mathbf{v}_j$
4. Вычислить  $\mathbf{w} := \mathbf{A}\mathbf{z}_j$
5. For  $i = 1, 2, \dots, j$  Do:
6.  $h_{ij} := (\mathbf{w}, \mathbf{v}_i)$
7.  $\mathbf{w} := \mathbf{w} - h_{ij}\mathbf{v}_i$
8. EndDo
9.  $h_{j+1,j} = \|\mathbf{w}\|_2$  и  $\mathbf{v}_{j+1} = \mathbf{w}/h_{j+1,j}$ .
10. Сформировать  $\mathbf{Z}_m := [\mathbf{z}_1, \dots, \mathbf{z}_m]$ ,  $\bar{\mathbf{H}}_m = h_{ij} \mathbf{1}_{1 \leq i \leq j+1, 1 \leq j \leq m}$ .
11. EndDo
12. Вычислить  $\mathbf{y}_m$  минимизацию  $\|\beta\mathbf{e}_1 - \bar{\mathbf{H}}_m\mathbf{y}\|_2$  и  $\mathbf{x}_0 := \mathbf{x}_0 + \mathbf{Z}_m\mathbf{y}_m$
13. Вычислить  $\mathbf{r}_0 = \mathbf{b} - \mathbf{A}\mathbf{x}_0$ ,  $\beta := \|\mathbf{r}_0\|_2$ . Продолжить пока  $\beta > \epsilon_{fGMRES}$ .

Заменить на FMM



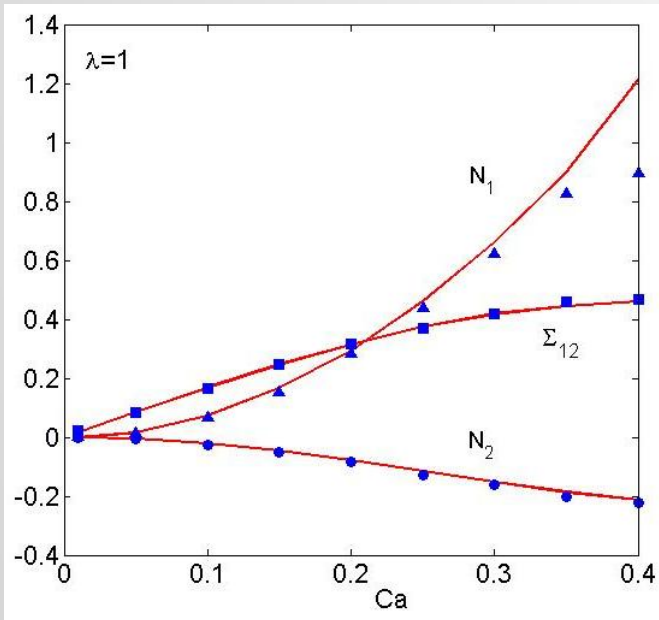
# Расчет реологических параметров

Тензор напряжений  $\sigma$  для разбавленной эмульсии в сдвиговом потоке  $\mathbf{u}_\infty = (Gy, 0, 0)$  в декартовой системе координат определяется как<sup>1,\*</sup>

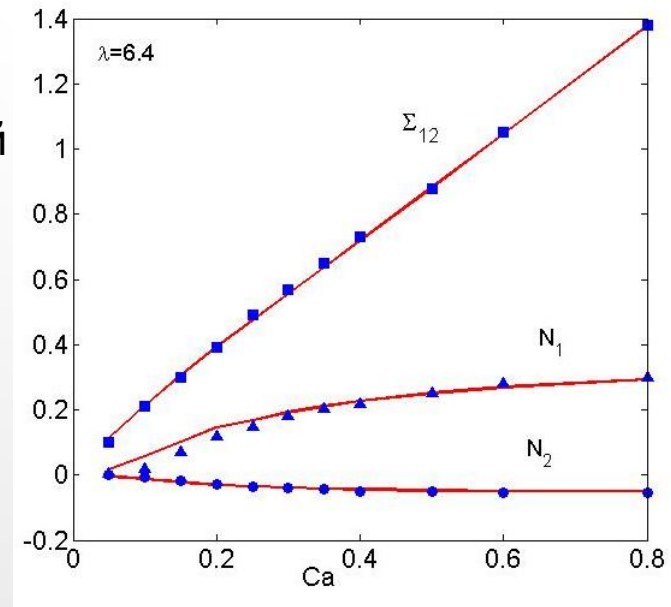
$$\sigma_{ij} = \underbrace{-\delta_{ij}p}_{\text{Вклад непрерывной фазы}} + \underbrace{2\mu_1 e_{ij}}_{\text{Вклад дисперсной фазы}} + \alpha \Sigma_{ij}$$

$$\Sigma_{ij} = \frac{1}{V_2} \int_S [f_i x_j - \mu_1 (1 - \lambda)(u_i n_j + u_j n_i)] dS, \quad i, j = 1, 2, 3.$$

Зависимость реологических функций от  $Ca$  для одной капли в сдвиговом потоке



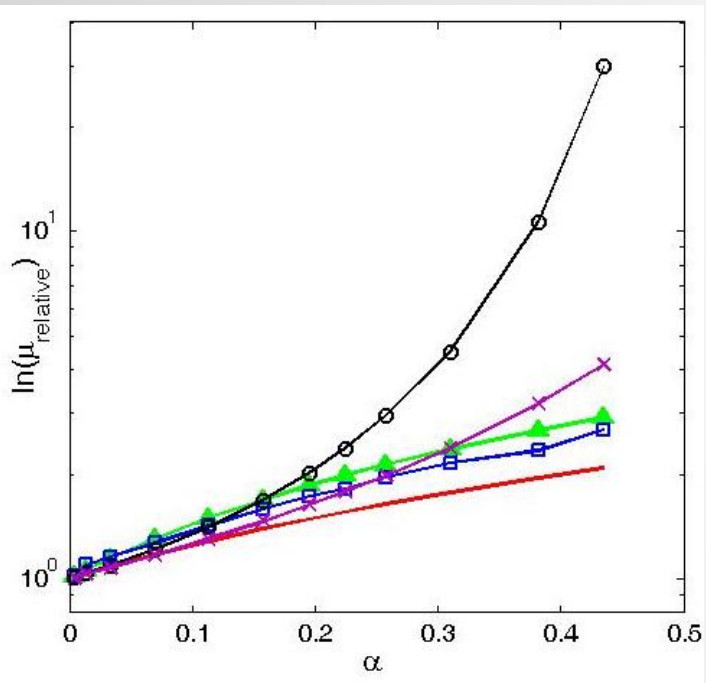
$N_1 = \Sigma_{11} - \Sigma_{22}$   
 Первая разность нормальных напряжений  
 $N_2 = \Sigma_{22} - \Sigma_{33}$   
 Вторая разность нормальных напряжений  
 Сплошные линии – расчеты в данной работе  
 Символы – численные результаты\*



<sup>1</sup> Batchelor G. K. *The stress system in a suspension of force-free particles*. 1970/

\* Kennedy M.R, et al *Motion and deformation of liquid drops and the rheology of dilute emulsions in simple shear flow*. 1994

# Расчет реологических параметров



Расчет относительной вязкости для монодисперсной системы из сферических недеформируемых частиц при различных объемных содержаниях

$$0.0695 \leq \alpha \leq 0.4349 \quad N_{\Delta} = 1280, N = 729 \quad Ca \ll 1, \lambda \gg 1$$

— формула Эйнштейна  $\mu_{relative} = 1 + 2.5\alpha$

▲ Формула\*  $\mu_{relative} = 1 + 4\alpha$

× формула Доерти-Кригера  $\mu_{relative} = \left(1 - \frac{\alpha}{\alpha_{max}}\right)^{-\alpha_{max}2.5}$

○ формула Муни  $\mu_{relative} = \exp\left(\frac{2.5\alpha}{1 - \alpha/\alpha_{max}}\right)$

□ расчеты

\* Ward S.G., Whitmore R.L. Studies of the viscosity and sedimentation of suspensions Part 1. The viscosity of suspension of spherical particles 1950

## Сравнение значений относительной вязкости для упорядоченной монодисперсной системы

$\lambda = 1$   
 $Ca = 0.01$   
 $\alpha = 17.96\%$

Sangani  $\mu_{relative} = 1.30$

$\lambda = 0.08, Ca = 0.4$

Расчеты  $\mu_{relative} = 1.29$

$\lambda = 6.4$

$Ca = 0.05$

$\alpha = 0.153\%$

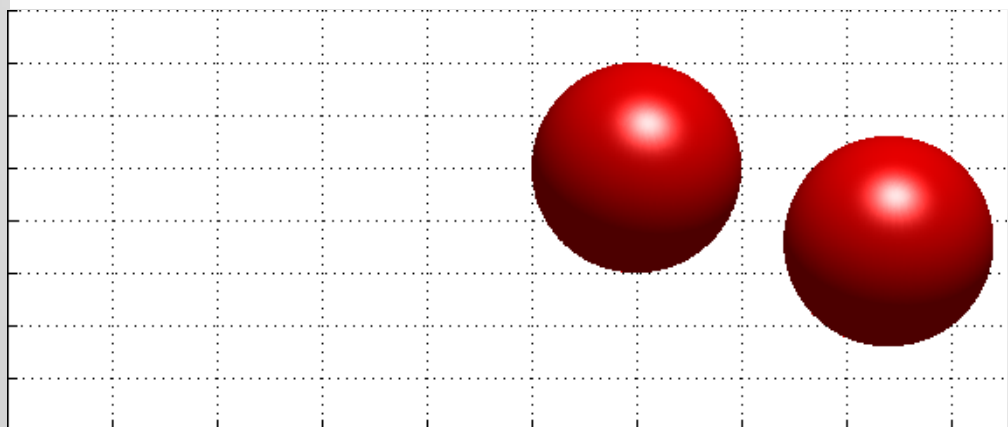
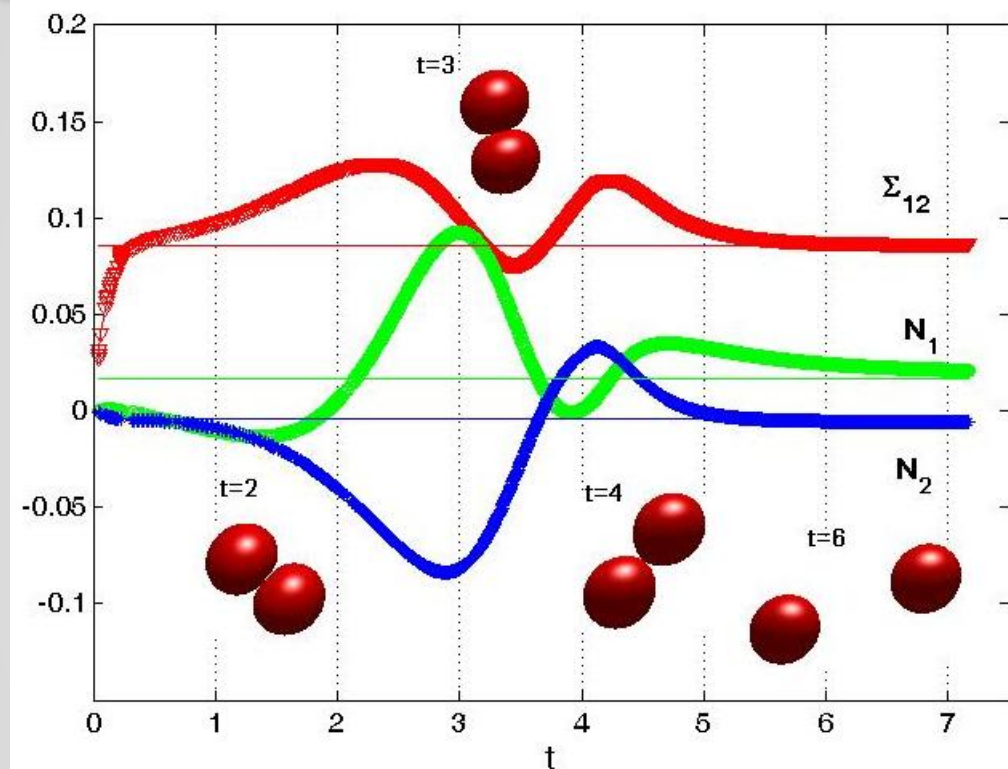
Pozrikidis  $\mu_{relative} = 1.03$

Расчеты  $\mu_{relative} = 1.03$

<sup>1</sup> Sangani A.S., Lu W. Effective viscosity of an ordered suspension of small drops, 1987

<sup>2</sup> Pozrikidis C. On the transient motion of ordered suspensions of liquid drops, 1993

# Динамика двух деформируемых капель в сдвиговом потоке и расчет реологических параметров



Количество вершин на поверхности  
каждой капли

$$N = 163\,842$$

Количество треугольных элементов на  
поверхности каждой капли

$$N_{\Delta} = 327\,680$$

Значения реологических функций для  
заданных параметров для одной капли  
в сдвиговом потоке

$$\Sigma_{12} = 0.0853 \quad N_1 = 0.0169$$

$$N_2 = -0.0043$$

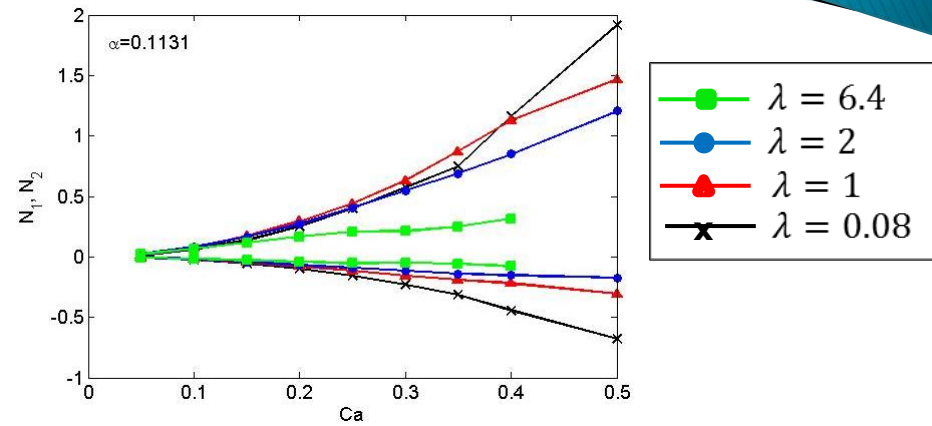
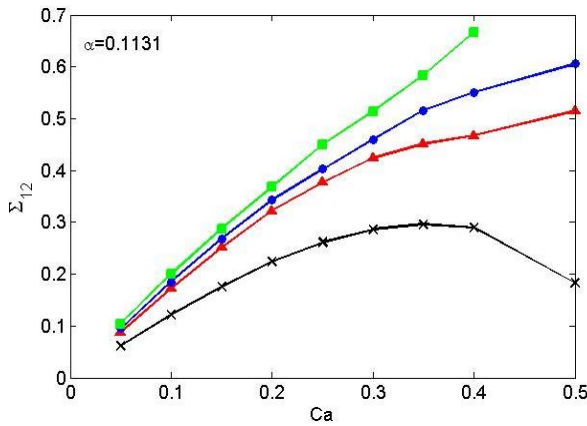
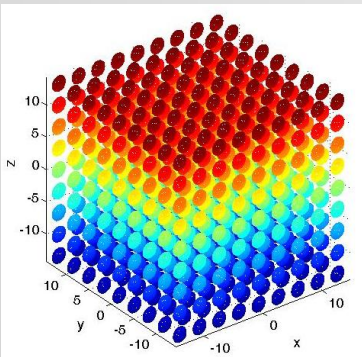
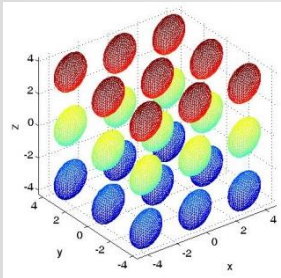
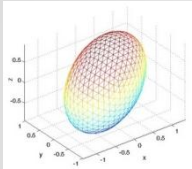
$$\lambda = 1 \quad Ca = 0.05 \quad a = a_1 = a_2$$

Начальное относительное расположение  
центров капель

$$\Delta x = 2.4a, \Delta y = 0, \Delta z = 0.7a$$

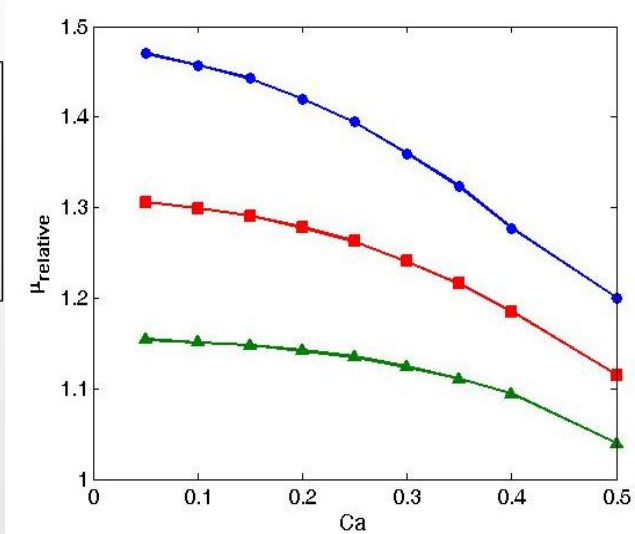
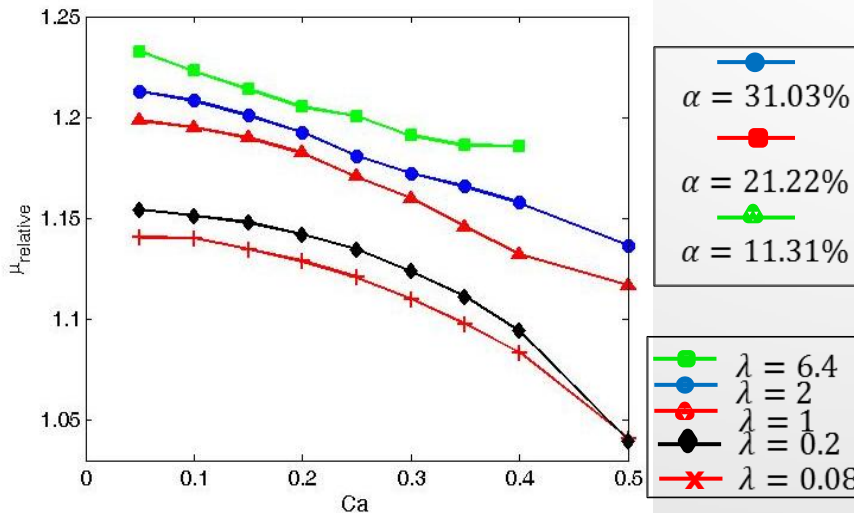
## Расчет реологических параметров для упорядоченной эмульсии

$\lambda = 0.08$   
 $Ca = 0.35$   
 $N = 642$   
 $\alpha = 11.31\%$



Изменение относительной вязкости эмульсии в зависимости от  $Ca$  при различных объемных концентрациях и  $\lambda$

$$\mu_{effective} = \mu_1 + \alpha \Sigma_{12} / G^* \quad \mu_{relative} = \frac{\mu_{effective}}{\mu_1}$$



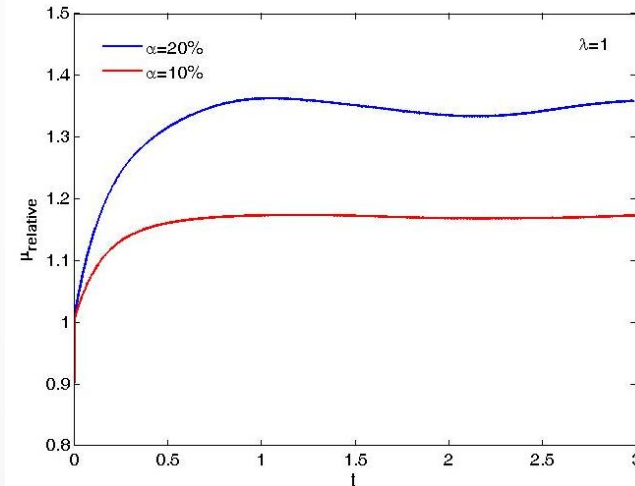
\*Kennedy M.R, et al. Motion and deformation of liquid drops and the rheology of dilute emulsions in simple shear flow. 1994

# Расчет относительной вязкости полидисперсной эмульсии

30 капля в ячейке  
 $0.52 \leq Ca \leq 0.96$   
 $\alpha \approx 10\%$   $N = 642$   
 $\lambda = 1$

31 капля в ячейке  
 $0.58 \leq Ca \leq 1.05$   
 $\alpha \approx 20\%$   $N = 642$   
 $\lambda = 1$

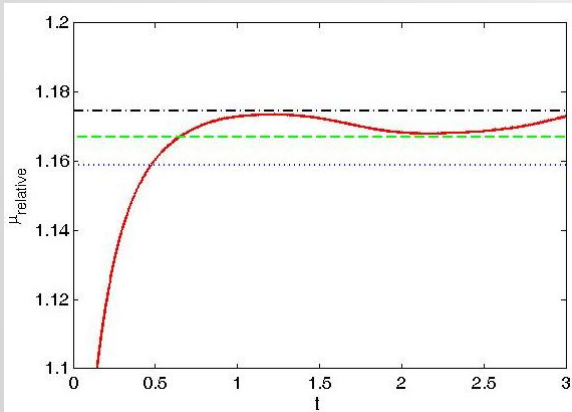
Графики относительной вязкости эмульсии



Графики относительной вязкости эмульсии, рассчитанные по различным формулам\*  $\alpha \approx 10\%$

$$\mu_{rel} \left[ \frac{M - P + 32\mu_{rel}}{M - P + 32} \right]^{N-1.25} \left[ \frac{M + P - 32}{M + P - 32\mu_{rel}} \right]^{N+1.25} = (1 - \alpha)^{-2.5}$$

$$\mu_{rel} \left[ \frac{M - P + 32\mu_{rel}}{M - P + 32} \right]^{N-1.25} \left[ \frac{M + P - 32}{M + P - 32\mu_{rel}} \right]^{N+1.25} = \left( 1 - \frac{\alpha}{\alpha_{max}} \right)^{-2.5\alpha_{max}}$$

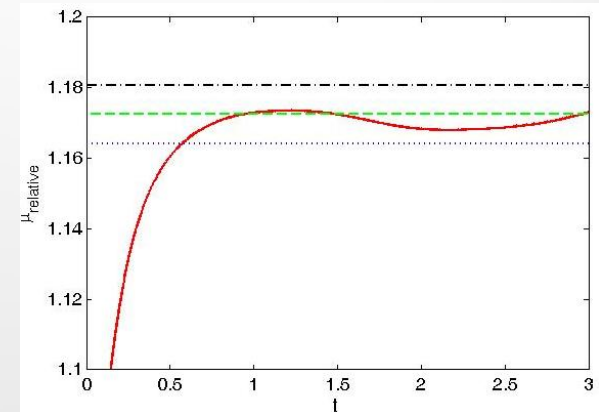


$$M = \sqrt{64/Ca^2 + 1225\lambda^2 + 1232(\lambda/Ca)}$$

$$P = 8/Ca - 3\lambda$$

$$N = \frac{22/Ca + 43.75\lambda}{M}$$

- - - -  $\mu_{relative}(a_{max})$
- - - -  $\mu_{relative}(a_{aver})$
- .....  $\mu_{relative}(a_{min})$



\* Pal R. Viscous behavior of concentrated emulsions of two immiscible Newtonian fluids with interfacial tension. 2003

# Верификация результатов Периодическое течение каплей эмульсии в цилиндрическом канале

Сравнение для течения жидкости в цилиндрическом канале с аналитическим решением для течения Пуазейля

Относительная погрешность  $f$  на границе  $\sim 1.9\%$  внутри канала:  $V_x \sim 1.5\%$   $V_z \sim 1.1\%$

## Безразмерные параметры

Локальное капиллярное число  $Ca = \mu_1 a G / \gamma$

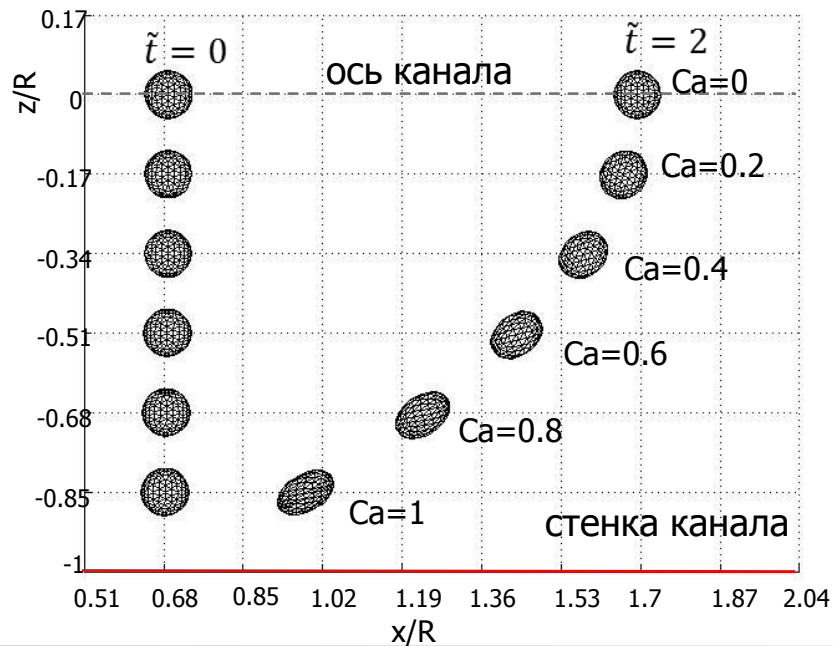
Безразмерное время

ФММ МГЭ подход  $O(N)$

$P = Ra \Delta p / (\gamma L)$

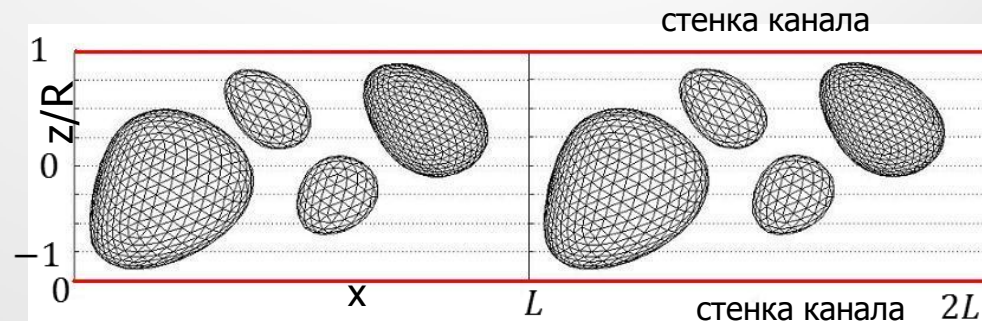
Скорость сдвига в канале

$G = 2z_0 \Delta p / (\mu_1 L)$



$\lambda = 1.5, \quad P = 0.6, \quad R/L = 0.43, \quad a/R = 0.07$

$N_{\Delta channel} = 3368 \quad N_{\Delta drop} = 320$



$\lambda = 1.5, \quad P = 1.4, \quad R/L = 0.29, \quad a/R = 0.35, \quad \tilde{t} = 2$

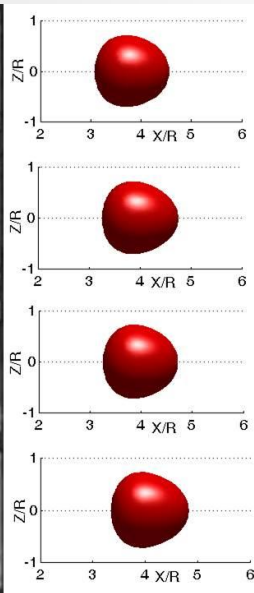
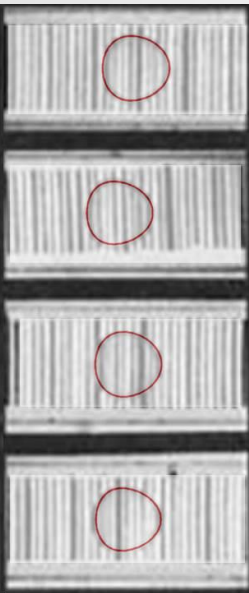
# Сравнение с результатами экспериментов для капель в канале

Эксперимент<sup>1</sup>

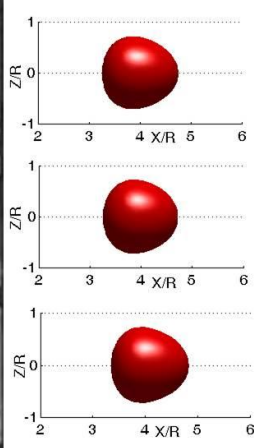
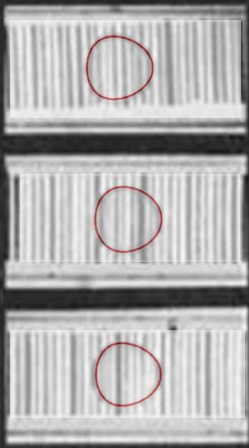
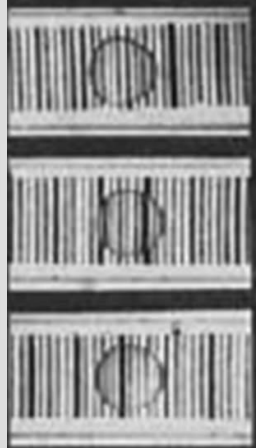
Сравнение

Расчеты

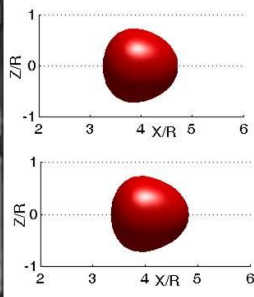
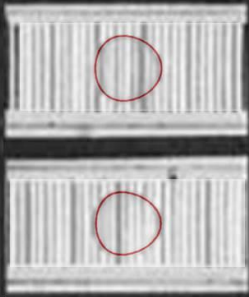
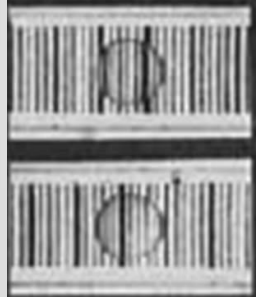
1а



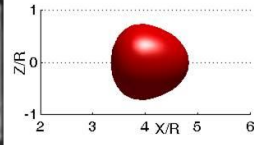
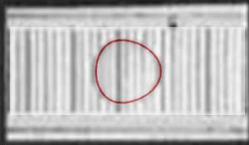
1б



2а



2б



Параметры эксперимента

$$\frac{a}{R} = 0.726 \quad a = 3.63 \cdot 10^{-3} \text{ м} \quad R = 5 \cdot 10^{-3} \text{ м}$$

$$\rho_1 = \rho_2 = 1.089 \cdot 10^3 \text{ кг/м}^3 \quad \mu_1 = 0.425 \text{ Па} \cdot \text{с} \quad \gamma = 22 \cdot 10^{-3} \text{ Н/м}$$

1 а

1 б

2 а

2 б

$$P = 0.437$$

$$P = 0.589$$

$$P = 0.437$$

$$P = 0.589$$

$$Ca = 0.075$$

$$Ca = 0.1$$

$$Ca = 0.075$$

$$Ca = 0.1$$

$$U = 3.9 \cdot 10^{-3} \text{ м/с}$$

$$U = 5.25 \cdot 10^{-3} \text{ м/с}$$

$$U = 3.9 \cdot 10^{-3} \text{ м/с}$$

$$U = 5.25 \cdot 10^{-3} \text{ м/с}$$

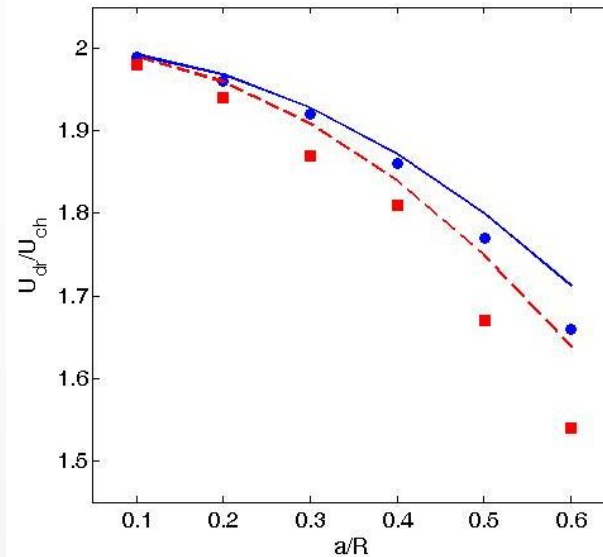
$$\lambda = 2.04$$

$$\mu_2 = 0.865 \text{ Па} \cdot \text{с}$$

$$\lambda = 0.19$$

$$\mu_2 = 0.08 \text{ Па} \cdot \text{с}$$

$$\frac{U_{dr}}{U_{ch}} = 2 - \frac{4\lambda}{3\lambda + 2} \cdot \left(\frac{a}{R}\right)^2 + o\left(\left(\frac{a}{R}\right)^3\right)$$



$$\lambda = 2.04$$

■ расчеты

--- теория\*

$$\lambda = 0.99$$

● расчеты

— теория\*

Сравнение относительной скорости

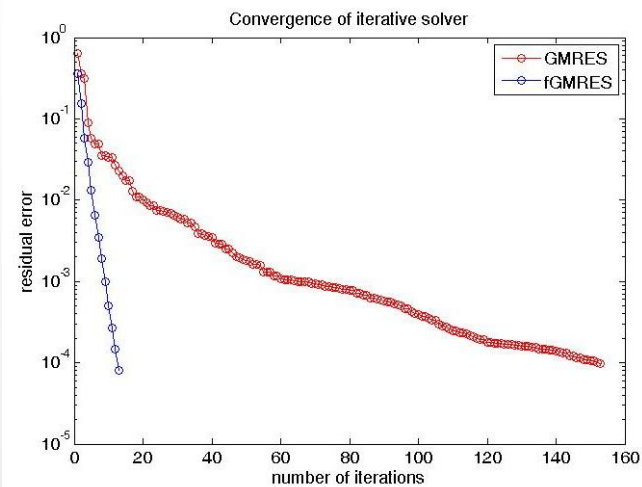
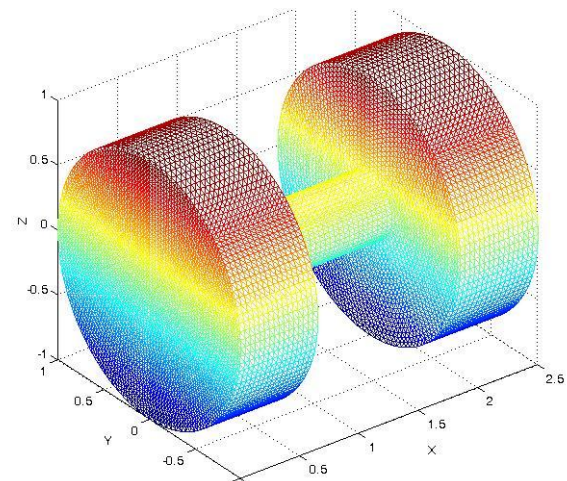
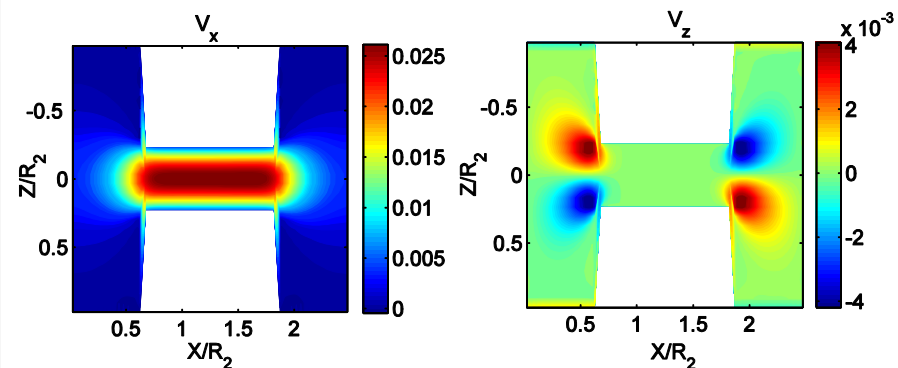
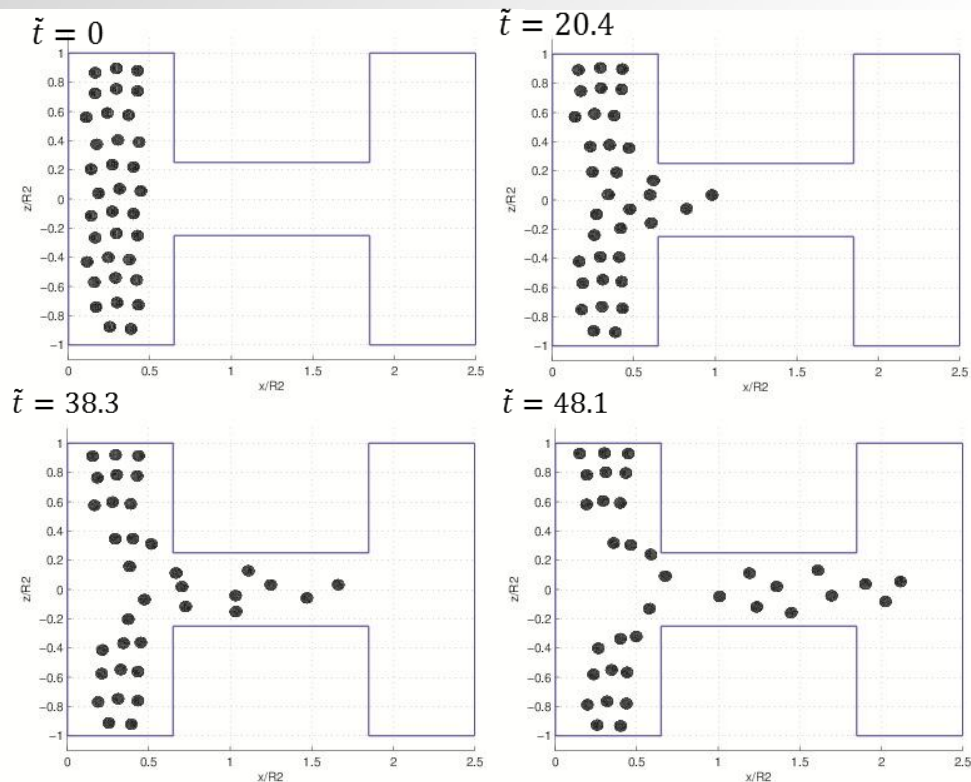
капли  $\frac{U_{dr}}{U_{ch}}$  в потоке

	Расчеты	Эксперимент	Погрешность
1а	1.43	1.46	2 %
1б	1.44	1.46	1.3 %
2а	1.514	1.56	2.9 %
2б	1.545	1.57	1.6 %

<sup>1</sup> Ho B.P., Leal L.G. The creeping motion of liquid drops through a circular tube of comparable diameter, 1975

\* Hetsroni G., Habel S., Wacholder E. The flow field in and around a droplet moving axially within a tube, 1970

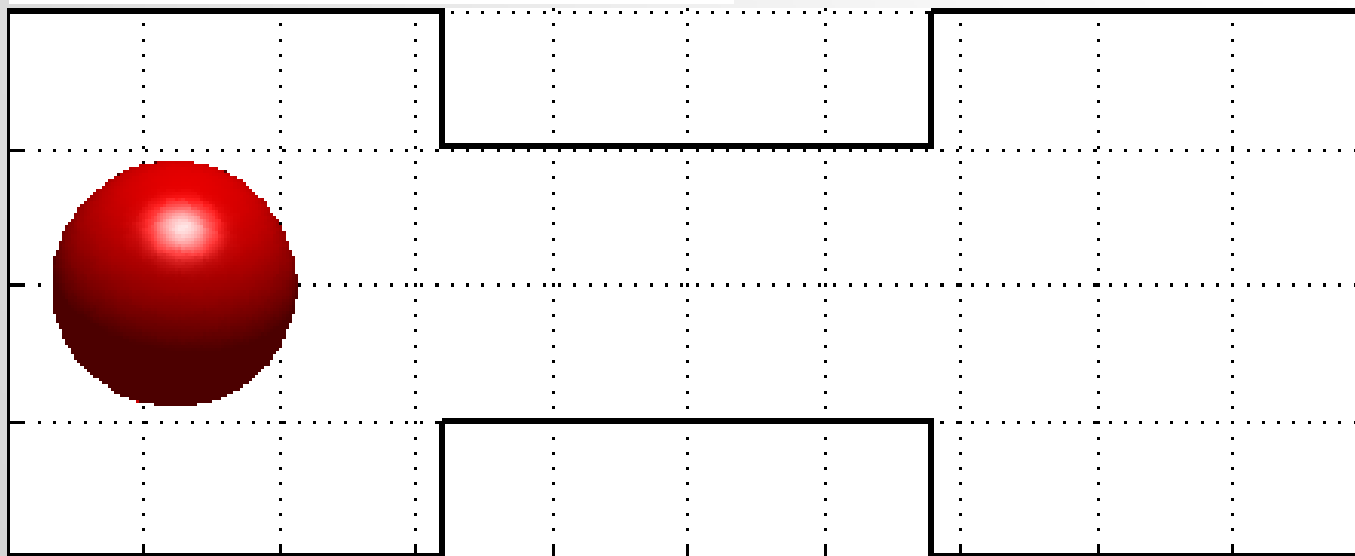
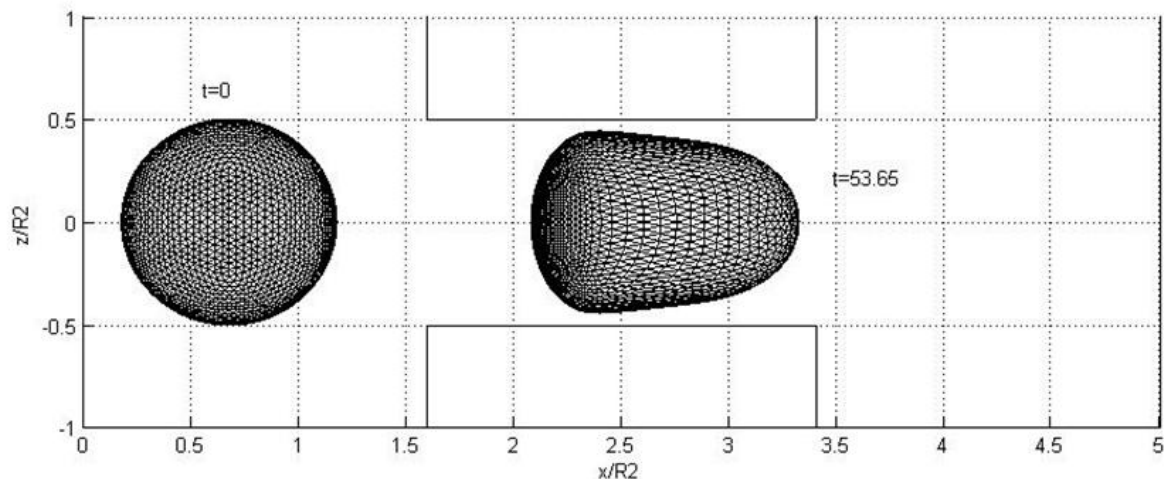
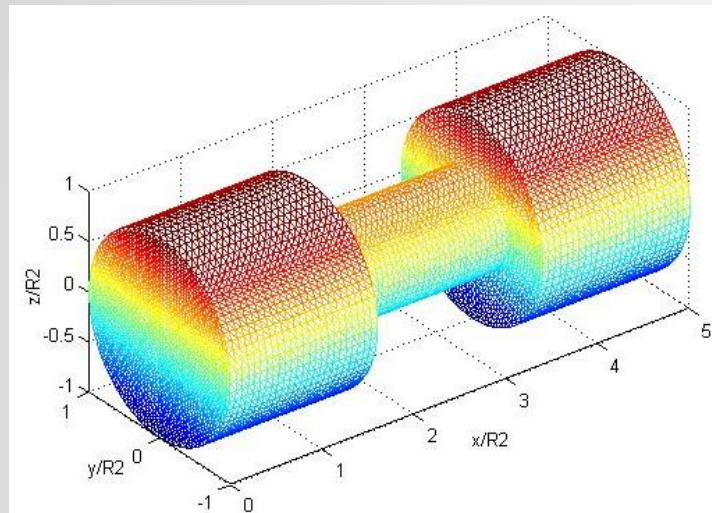
# Динамика деформируемых капель в канале переменного сечения



$$a/R_2 = 0.035, R_2/R_1 = 4, \lambda = 1.5, P = 0.14, L/R_2 = 2.5,$$

$$N_{\Delta drop} = 320, N_{\Delta channel} \approx 40\,000$$

# Динамика деформируемых капель в канале переменного сечения



$$a/R_1 = 1, R_2/R_1 = 2,$$

$$\lambda = 1.5, P = 0.5, L/R_2 = 5$$

$$a/R_1 = 0.9, R_2/R_1 = 2,$$

$$\lambda = 1.5, P = 0.45, L/R_2 = 5,$$

$$N_{\Delta drop} = 5\,120,$$

$$N_{\Delta channel} \approx 45\,000$$

# Метод граничных элементов

## Гранично-интегральная формулировка

Применение метода граничных элементов (МГЭ)<sup>1</sup> позволяет уменьшить размерность рассматриваемой задачи на единицу, поскольку все расчеты связаны только с границей.

Граничные интегральные уравнения для жидкости, занимающей объем  $V$ , ограниченный поверхностью  $S$ , могут быть записаны в следующем виде\*

$$\begin{aligned} \mathbf{u}(\mathbf{y}) - \int_S \mathbf{K}(\mathbf{y}, \mathbf{x}) \cdot \mathbf{u}(\mathbf{x}) dS(\mathbf{x}) &= \frac{1}{\mu} \int_S \mathbf{G}(\mathbf{y}, \mathbf{x}) \cdot \mathbf{f}(\mathbf{x}) dS(\mathbf{x}), & \mathbf{y} \in V, \\ \frac{1}{2} \mathbf{u}(\mathbf{y}) - \int_S \mathbf{K}(\mathbf{y}, \mathbf{x}) \cdot \mathbf{u}(\mathbf{x}) dS(\mathbf{x}) &= \frac{1}{\mu} \int_S \mathbf{G}(\mathbf{y}, \mathbf{x}) \cdot \mathbf{f}(\mathbf{x}) dS(\mathbf{x}), & \mathbf{y} \in S, \\ - \int_S \mathbf{K}(\mathbf{y}, \mathbf{x}) \cdot \mathbf{u}(\mathbf{x}) dS(\mathbf{x}) &= \frac{1}{\mu} \int_S \mathbf{G}(\mathbf{y}, \mathbf{x}) \cdot \mathbf{f}(\mathbf{x}) dS(\mathbf{x}), & \mathbf{y} \notin S, V, \end{aligned}$$

$$\mathbf{G}_{ij}(\mathbf{y}, \mathbf{x}) = \frac{1}{8\pi} \left( \frac{\delta_{ij}}{r} + \frac{r_i r_j}{r^3} \right), \quad \mathbf{T}_{ijk}(\mathbf{y}, \mathbf{x}) = -\frac{3}{4\pi} \frac{r_i r_j r_k}{r^5}, \quad r_i = y_i - x_i, \quad i, j, k = 1, 2, 3,$$

$$\mathbf{K}(\mathbf{y}, \mathbf{x}) = \mathbf{T}(\mathbf{y}, \mathbf{x}) \cdot \mathbf{n}(\mathbf{x})$$

Stokeslet  
(стокслет)

Stresslet  
(стресслет)

<sup>1</sup> *Pozrikidis C.* Boundary Integral and Singularity Methods for Linearized Viscous Flow, 1992

\**Rallison J.M., Acrivos A.* A numerical study of the deformation and burst of a viscous drop in an extensional flow. 1978

# МГЭ для капель в неограниченной области

$$\left. \begin{array}{l} y \in V_1, \quad u(y) - u_s(y) \\ y \in V_2, \quad \lambda u(y) - -u_s(y) \\ y \in S, \frac{1+\lambda}{2} u(y) - u_s(y) \end{array} \right\} = \int_S \left\{ -\frac{1}{\mu} \mathbf{G}(y, x) \cdot \mathbf{f}(x) - (1 - \lambda) [\mathbf{T}(y, x) \cdot \mathbf{n}(x)] \cdot \mathbf{u}(x) \right\} dS(x) \quad (1)$$

$$\mathbf{G}(y, x) = \frac{1}{8\pi} \left( \frac{\mathbf{I}}{r} + \frac{\mathbf{r}\mathbf{r}}{r^3} \right), \quad \mathbf{T}(y, x) = -\frac{3}{4\pi} \frac{\mathbf{r}\mathbf{r}\mathbf{r}}{r^5},$$

$$\mu = \mu_1, \quad \lambda = \mu_2/\mu_1, \quad \mathbf{r} = \mathbf{y} - \mathbf{x}, \quad r = |\mathbf{r}|,$$

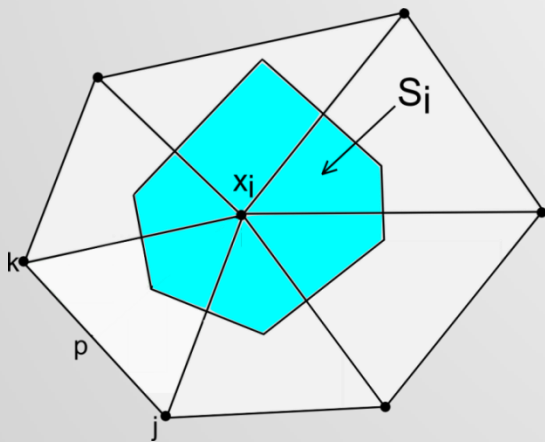
$$\int_S \mathbf{G}(y, x) \cdot \mathbf{n}(x) \mathbf{f}(x) dS(x) \approx \sum_{i=1}^N \mathbf{I}_i^{(G)}(y) \mathbf{f}(x_i)$$

$$\int_S [\mathbf{T}(y, x) \cdot \mathbf{n}(x)] \cdot \mathbf{u}(x) dS(x) \approx \sum_{i=1}^N \mathbf{I}_i^{(T)}(y) \cdot \mathbf{u}(x_i)$$

$$\mathbf{I}_i^{(G)}(y) = \int_{S_i} \mathbf{G}(y, x) \cdot \mathbf{n}(x) dS(x),$$

$$\mathbf{I}_i^{(T)}(y) = \int_{S_i} \mathbf{T}(y, x) \cdot \mathbf{n}(x) dS(x)$$

Сингулярные интегралы матриц рассчитывались на основе известных интегральных тождеств



$$\sum_{i=1}^N \left[ \frac{1+\lambda}{2} \mathbf{I}_{ji} + (1-\lambda) \mathbf{I}_{ji}^{(T)} \right] \cdot \mathbf{u}_i = \mathbf{u}_{\infty, j} - \frac{1}{\mu} \sum_{i=1}^N \mathbf{I}_{ji}^{(G)} \mathbf{f}_i, \quad j = 1, \dots, N$$

$$\mathbf{u}_i = \mathbf{u}(x_i), \mathbf{u}_{\infty, i} = \mathbf{u}_{\infty}(x_i), \mathbf{f}_i = \mathbf{f}(x_i), \mathbf{I}_{ji}^{(G)} = \mathbf{I}_i^{(G)}(x_j), \mathbf{I}_{ji}^{(T)} = \mathbf{I}_i^{(T)}(x_j)$$

$$\mathbf{A}\mathbf{U} = \mathbf{C}, (\mathbf{C} = \mathbf{U}_{\infty} + \mathbf{B}\mathbf{f})$$

# Оценка погрешности

## Оценка погрешности при расчете поля скоростей внутри и вне капли при обтекании ее внешним потоком

$v_1$                        $v_2$                        $v_3$   
 $N = 162$                    $N = 642$                    $N = 2562$

### Абсолютная погрешность

	$V_x$	$V_z$
$\max v_2 - v_1 $	0.0773	0.0849
$\max v_3 - v_2 $	0.0227	0.0112
Размытость	0.29	0.13

### Относительная погрешность

	$V_x$	$V_z$
$\max v_2 - v_1 /\max v_1 $	0.0988	0.1086
$\max v_3 - v_2 /\max v_2 $	0.0291	0.0144
Размытость	0.29	0.13

## Оценка погрешности при расчете поля скоростей в внутри канала переменного кругового сечения

$v_1$                        $v_2$                        $v_3$   
 $N_\Delta = 21\,488$                $N_\Delta = 34\,684$                $N_\Delta = 54\,968$

### Абсолютная погрешность

	$V_x$	$V_y$	$V_z$
$\max v_2 - v_1 $	$0.4963 \cdot 10^{-4}$	$0.167 \cdot 10^{-4}$	$0.411 \cdot 10^{-4}$
$\max v_3 - v_2 $	$0.3935 \cdot 10^{-4}$	$0.085 \cdot 10^{-4}$	$0.293 \cdot 10^{-4}$
Размытость	0.79	0.5	0.7

### Относительная погрешность

	$V_x$	$V_y$	$V_z$
$\frac{\max v_2 - v_1 }{\max v_1 }$	0.0086	0.003	0.0072
$\frac{\max v_3 - v_2 }{\max v_2 }$	0.007	0.0015	0.0051
Размытость	0.81	0.5	0.7